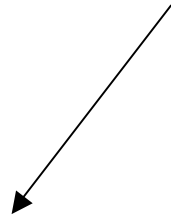


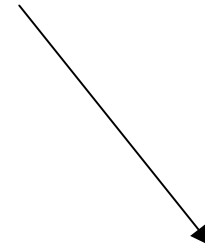
# Transferts avec changement de phases

Catherine Colin  
Pr ENSEEIHT/INP



Ebullition (9h)

Marc Prat  
DR CNRS/IMFT



Evaporation (6h)

# Situations industrielles impliquant des écoulements diphasiques avec changement de phase

Production de vapeur : centrales thermiques

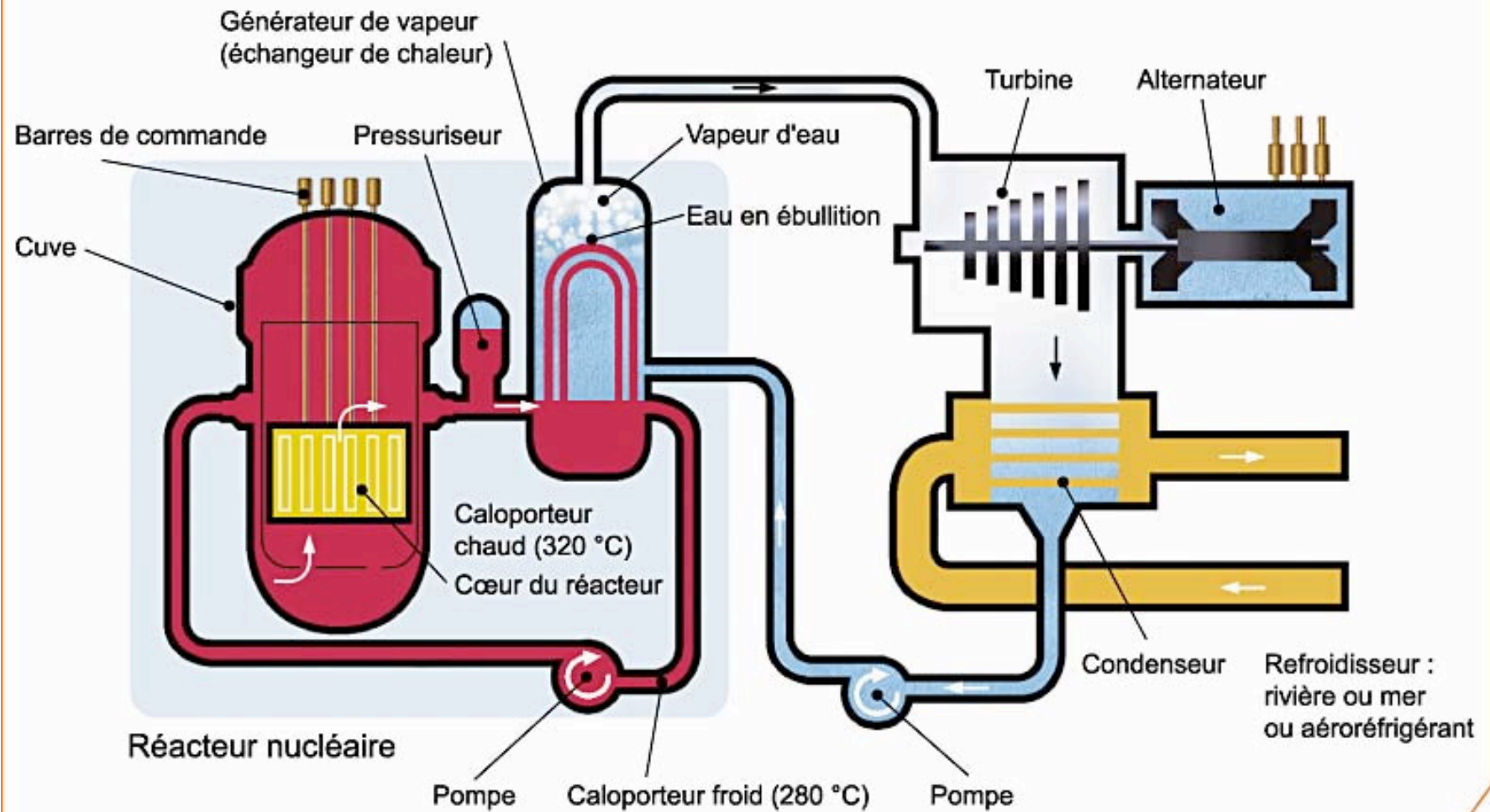
Extraction pétrolière

Amélioration des échanges thermiques : échangeurs  
diphasiques dans l'industrie automobile ou aérospatiale

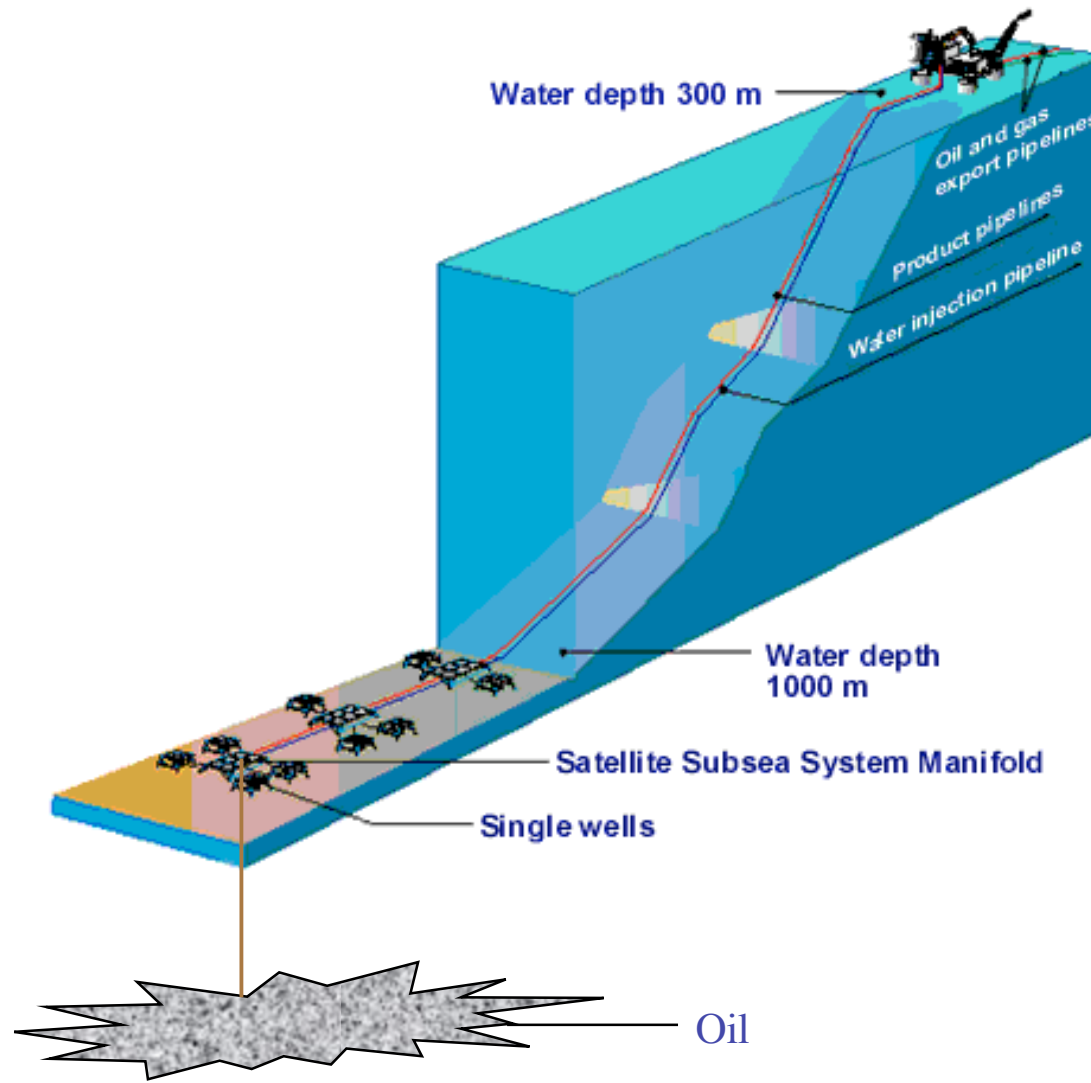
Cavitation

# Centrale thermique

## Schéma de principe d'un réacteur à eau sous pression



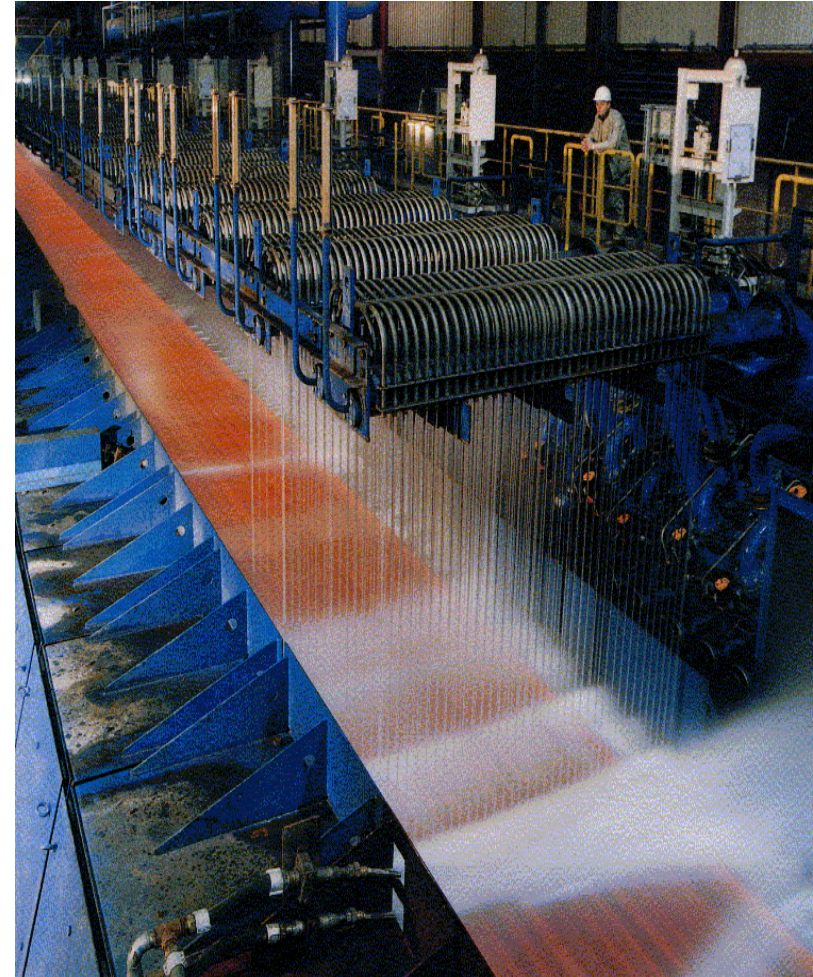
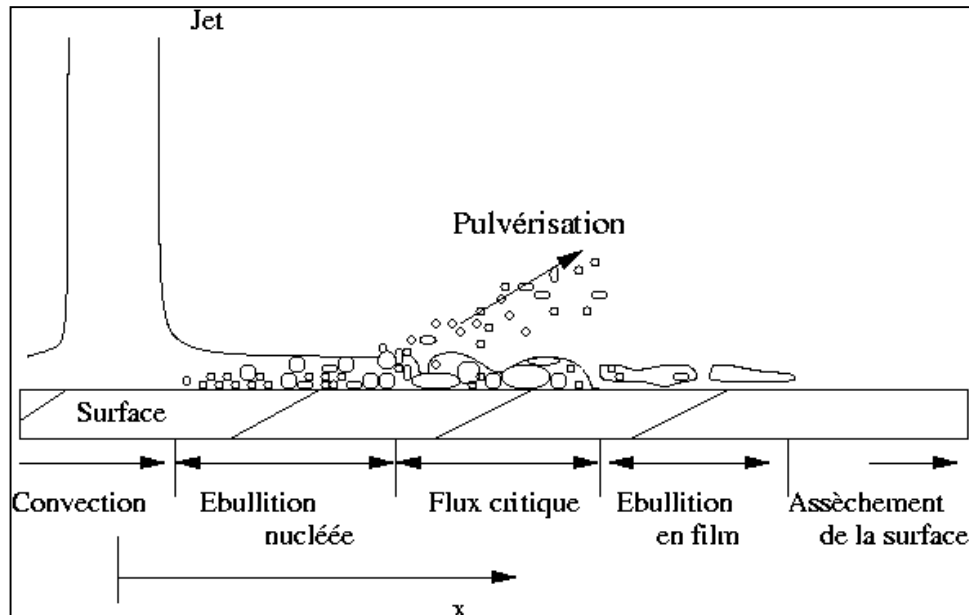
# Extraction pétrolière



# Refroidissement des plaques d'acier

✓ Refroidissement par jets d'eau impactant des aciers lors du laminage à chaud.

➤ Contrôle de la température et donc des propriétés mécaniques des matériaux.



Rampe de jet en sortie de laminoir

(Copyright ARCELOR)

# Plan du cours sur l'ébullition

## Chapitre 1 Quelques rappels thermodynamiques

1. Stabilité de l'équilibre thermodynamique
2. Enthalpie de transition de phase et relation de Clapeyron
3. Isothermes de Van der Waals - Palier de vaporisation - Courbes de saturation

## Chapitre 2 Notions de base : thermodynamique des interfaces et équations de bilan

1. Tension superficielle
2. Contact à trois phases : mouillage et angles de contact
3. Equations de bilan aux interfaces

# Plan du cours sur l'ébullition (suite)

## Chapitre 3 Nucléation homogène, hétérogène

1. Notion d'état métastable
2. Equilibre d'un embryon de vapeur dans un liquide surchauffé
3. Taux de nucléation homogène
4. Nucléation hétérogène sur paroi lisse
5. Activation d'embryons préexistants
6. Effet de la couche limite thermique
7. Densité de sites de nucléation

## Chapitre 4 Dynamique et transfert à l'échelle d'une bulle

1. Ebullition ou condensation d'une bulle de vapeur en milieu infini
2. Croissance de bulles sur une paroi chauffée
3. Dynamique de bulles en croissance
4. Diamètres de bulles et fréquence de détachement

# Plan du cours sur l'ébullition (suite)

## Chapitre 5 Transferts en ébullition libre

1. Les différents régimes de l'Ébullition libre
2. Régime de convection naturelle
3. Ébullition nucléée
4. Crise d'ébullition - Flux critique
5. Ebullition en film
6. Flux de chaleur minimum
7. L'ébullition de transition
8. Quelques effets paramétriques sur l'ébullition libre



# Chapitre 2 Notions de base : thermodynamique des interfaces et équations de bilan

## 1. Tension superficielle

Origine physique - force capillaire - Loi de Laplace

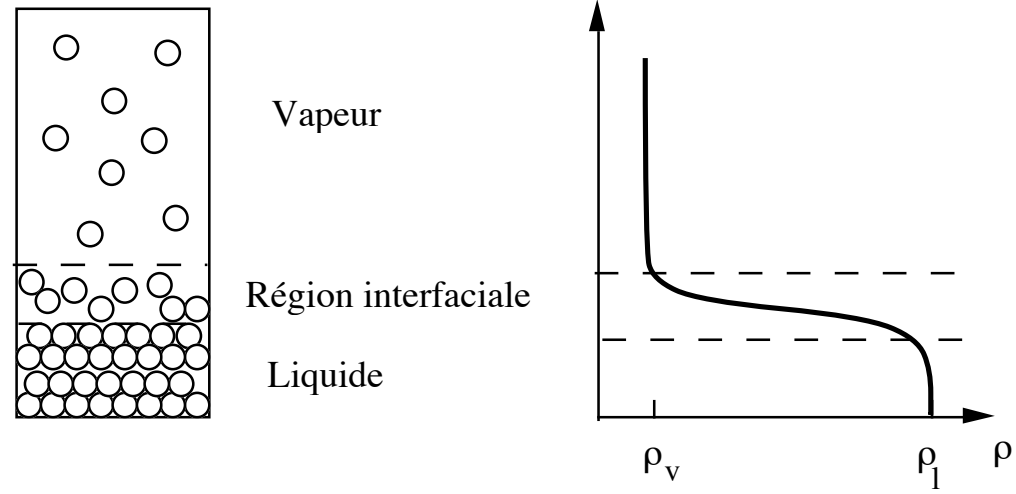
## 2. Contact à trois phases : mouillage et angles de contact

Equation de Young - Angles de contact dynamiques

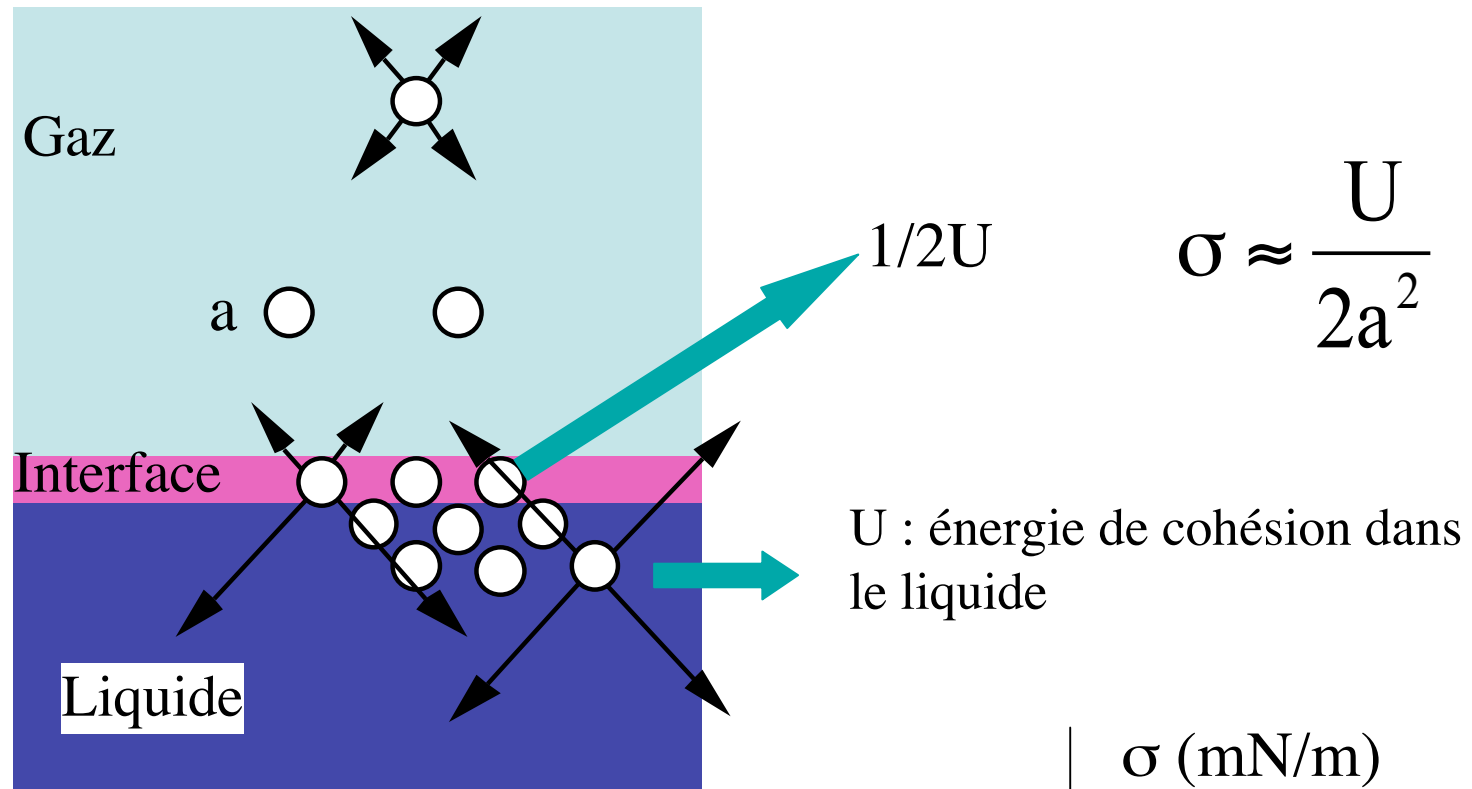
## 3. Equations de bilan aux interfaces

Masse - Quantité de mouvement - Energie

# Tension interfaciale

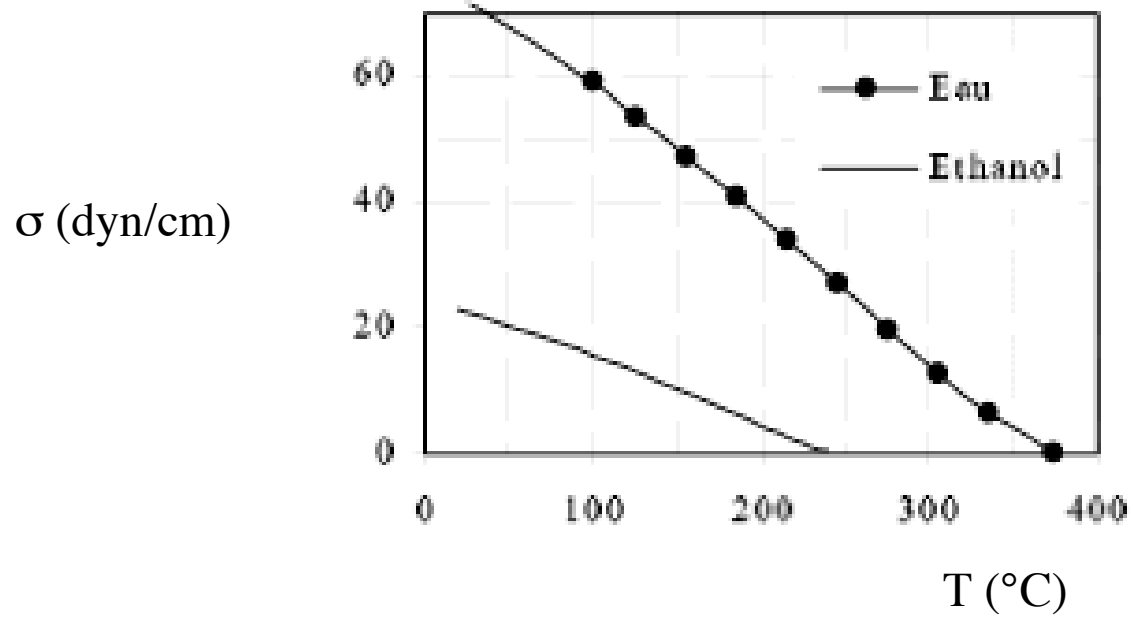


# Origine physique de la tension interfaciale



	$\sigma$ (mN/m)
Eau	72
Huile	20
Mercure	485

## Variation de la tension superficielle avec la température

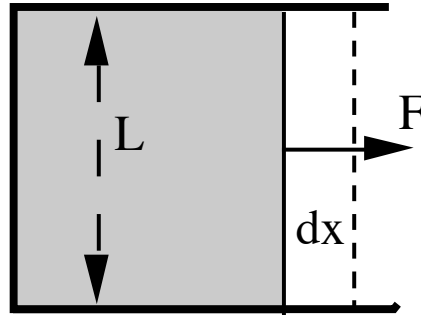


$$\sigma = \sigma_0 \left( 1 - \frac{T}{T_{\text{crit}}} \right)^n$$

## Force Capillaire



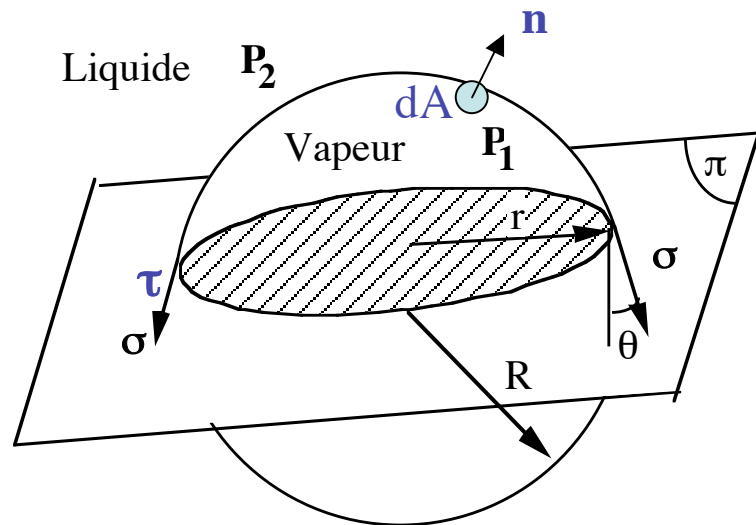
## Force capillaire



Tension de surface : force par unité de longueur (N/m)

$$dW = F dx = 2 \sigma L dx$$

## Equilibre mécanique d'une interface : Loi de Laplace



$$\delta F_p = (P_1 - P_2)ndA$$

$$F_p \cdot \mathbf{k} = \int_A (P_1 - P_2) \cdot dA' = (P_1 - P_2)\pi r^2$$

$$\delta F_\sigma = -\sigma \cdot dl \cdot \tau$$

$$\delta F_\sigma \cdot \mathbf{k} = \int_r -\sigma \cdot dl \cos\theta = \int_r -\sigma \cdot dl \frac{r}{R} = -2\pi\sigma \frac{r^2}{R}$$

Loi de Laplace :

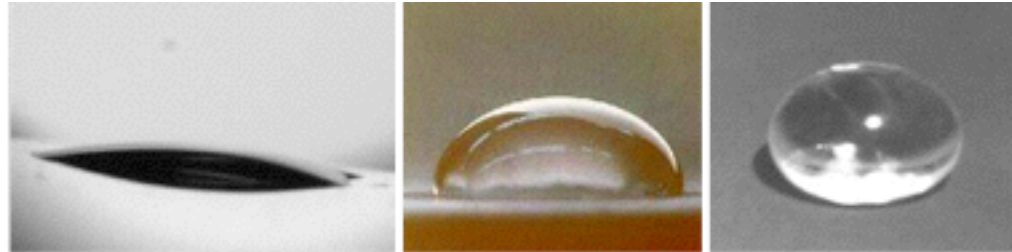
$$P_1 - P_2 = \frac{2\sigma}{R}$$

$$P_1 - P_2 = \sigma \left( \frac{1}{R_1} + \frac{1}{R_2} \right)$$





# Contact à 3 phases : mouillage et angles de contact



Angles de contact

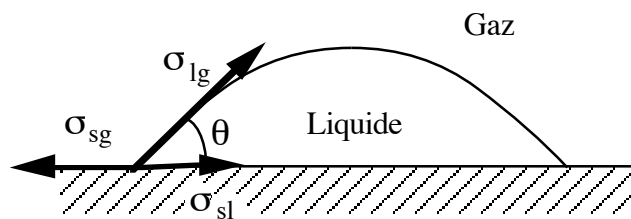
15°

100°

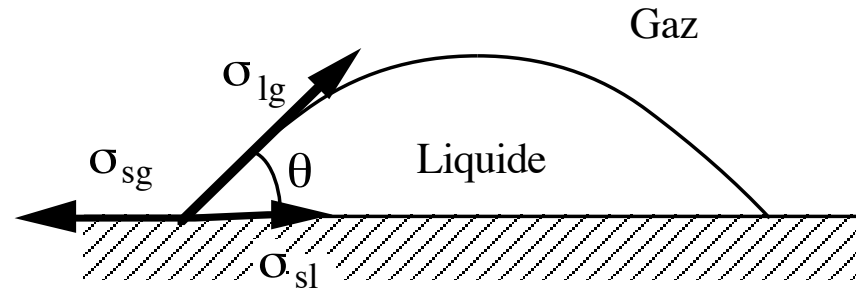
180°

$\theta < 90^\circ$  fluide mouillant

$\theta > 90^\circ$  fluide non mouillant



## Equation de Young

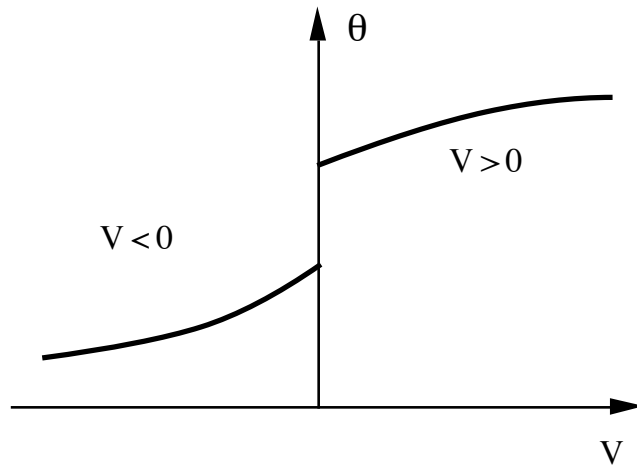
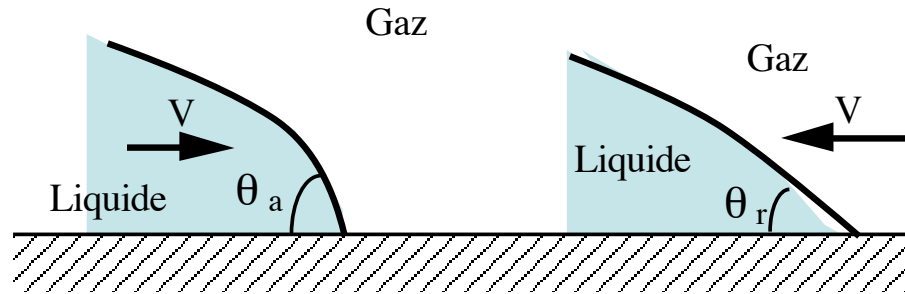


3 interfaces  $\Rightarrow$  3 tensions interfaciales

Equilibre des forces au niveau de la ligne de contact :

$$\sigma_{sg} = \sigma_{sl} + \sigma_{lg} \cos\theta$$

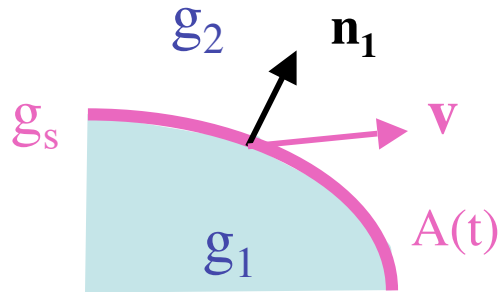
# Angles de contact dynamiques



Loi de Hoffman-Tanner :

$$[\theta(V)]^3 - [\theta(0)]^3 = kCa \quad \text{avec} \quad Ca = \frac{\mu V}{\sigma}$$

# Equations de bilan aux interfaces

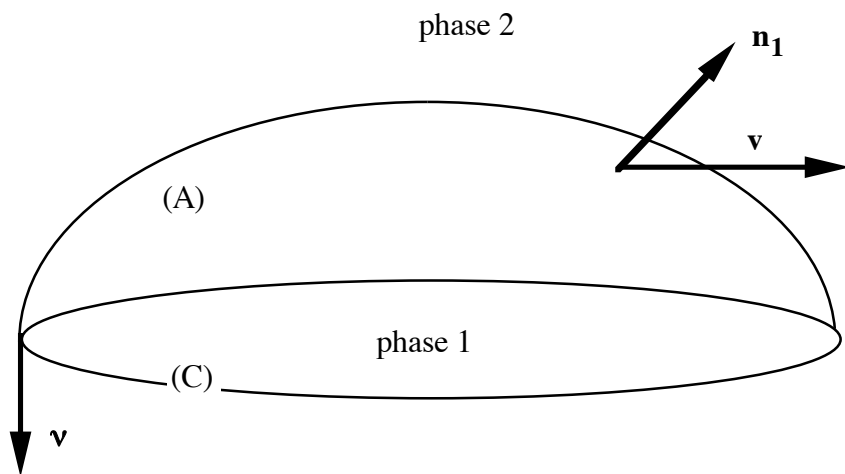


Variable locale  $g$

$g_s$  : densité surfacique

$g_k$  : densité volumique

$$G_s = \int_{A(t)} g_s dA$$



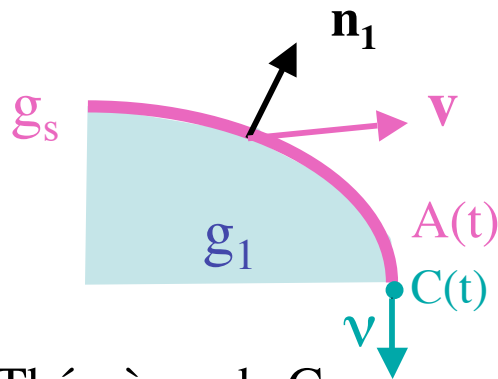
$$\frac{dG_s}{dt} = \frac{d}{dt} \int_{A(t)} g_s dA =$$

$$\sum_{k=1,2} \int_{A(t)} [g_k (\mathbf{u}_k - \mathbf{v}) \cdot \mathbf{n}_k + \Gamma_k \mathbf{n}_k] dA - \int_{C(t)} \Gamma_s \mathbf{v} dC$$

Échange avec les 2 phases

Flux diffusif à travers le contour

## Equations de bilan aux interfaces



Théorème de Green

$$\int_{C(t)} \Gamma_s \mathbf{v} dC = \int_A (\operatorname{div}_s \Gamma_s - 2H \Gamma_s \mathbf{n}) dA$$

Théorème de Leibniz

$$\begin{aligned} \frac{d}{dt} \int_{A(t)} g_s dA &= \int_{A(t)} \frac{\partial g_s}{\partial t} dA + \int_{C(t)} g_s \mathbf{v} \cdot \mathbf{v} dC + \int_{A(t)} 2H g_s \mathbf{v} \cdot \mathbf{n} dA \\ &= \int_{A(t)} \frac{\partial g_s}{\partial t} dA + \int_{A(t)} \operatorname{div}_s (g_s \mathbf{v}) \cdot dA \end{aligned}$$

$$\frac{dG_s}{dt} = \int_{A(t)} \left[ \frac{\partial g_s}{\partial t} + \operatorname{div}_s (g_s \mathbf{v} + \Gamma_s) - 2H \Gamma_s \mathbf{n} \right] dA = \sum_{k=1,2} \int_{A(t)} [g_k (\mathbf{u}_k - \mathbf{v}) \cdot \mathbf{n}_k + \Gamma_k \mathbf{n}_k] dA$$

$$\begin{aligned} \frac{dG_s}{dt} &= \frac{d}{dt} \int_{A(t)} g_s dA = \\ &= \sum_{k=1,2} \int_{A(t)} [g_k (\mathbf{u}_k - \mathbf{v}) \cdot \mathbf{n}_k + \Gamma_k \mathbf{n}_k] dA - \int_{C(t)} \Gamma_s \mathbf{v} dC \end{aligned}$$

## Equations de bilan aux interfaces

$$\frac{dG_s}{dt} = \int_{A(t)} \left[ \frac{\partial g_s}{\partial t} + \text{div}_s (g_s \mathbf{v} + \Gamma_s) - 2H\Gamma_s \mathbf{n} \right] dA = \sum_{k=1,2} \int_{A(t)} \left[ g_k (\mathbf{u}_k - \mathbf{v}) \cdot \mathbf{n}_k + \Gamma_k \mathbf{n}_k \right] dA$$

➔

$$\frac{\partial g_s}{\partial t} + \text{div}_s (g_s \mathbf{v} + \Gamma_s) - 2H\Gamma_s \mathbf{n} = \sum_{k=1,2} \left[ g_k (\mathbf{u}_k - \mathbf{v}) \cdot \mathbf{n}_k + \Gamma_k \mathbf{n}_k \right]$$

	$g_k$	$\Gamma_k$	$g_s$	$\Gamma_s$
Masse	$\rho_k$	0	0	0
Quantité de mouvement	$\rho_k \mathbf{u}_k$	$P_k \mathbf{I} - \Sigma_k$	0	$-\sigma \mathbf{I}_s$
Energie totale	$\rho_k \left( e_k + \frac{1}{2} u_k^2 \right)$	$(P_k \mathbf{I} \cdot \mathbf{n}_k - \Sigma_k \cdot \mathbf{n}_k) \cdot \mathbf{u}_k + \mathbf{q}_k$	$e_s$	$-\sigma \mathbf{n} \cdot \mathbf{v}$

## Equation de conservation de la masse

$$\sum_{k=1,2} J_k = \sum_{k=1,2} [\rho_k (\mathbf{u}_k - \mathbf{v}) \cdot \mathbf{n}_k] = 0$$

$J_k$  flux de masse sortant de la phase k ( $J_1 + J_2 = 0$ )  
 $J_k = 0 \Rightarrow \mathbf{u}_1 \cdot \mathbf{n}_1 = \mathbf{u}_2 \cdot \mathbf{n}_1 = \mathbf{v} \cdot \mathbf{n}_1$ .

## Equation de conservation de la quantité de mouvement

$$-\text{grad}_s(\sigma) + 2H\sigma\mathbf{n} = \sum_{k=1,2} [J_k \mathbf{u}_k + P_k \mathbf{n}_k - \Sigma_k \mathbf{n}_k] = \sum_{k=1,2} [J_k (\mathbf{u}_k - \mathbf{v}) + P_k \mathbf{n}_k - \Sigma_k \mathbf{n}_k]$$

Selon  $\mathbf{n}$

Selon  $\mathbf{t}$

$$P_1 - P_2 = 2H\sigma - J^2 \left( \frac{1}{\rho_1} - \frac{1}{\rho_2} \right) + \mathbf{n} \cdot (\Sigma_1 - \Sigma_2) \cdot \mathbf{n}$$

$$\tau_1 - \tau_2 = \mathbf{t} \cdot (\Sigma_1 - \Sigma_2) \cdot \mathbf{n} = \text{grad}_s \sigma$$

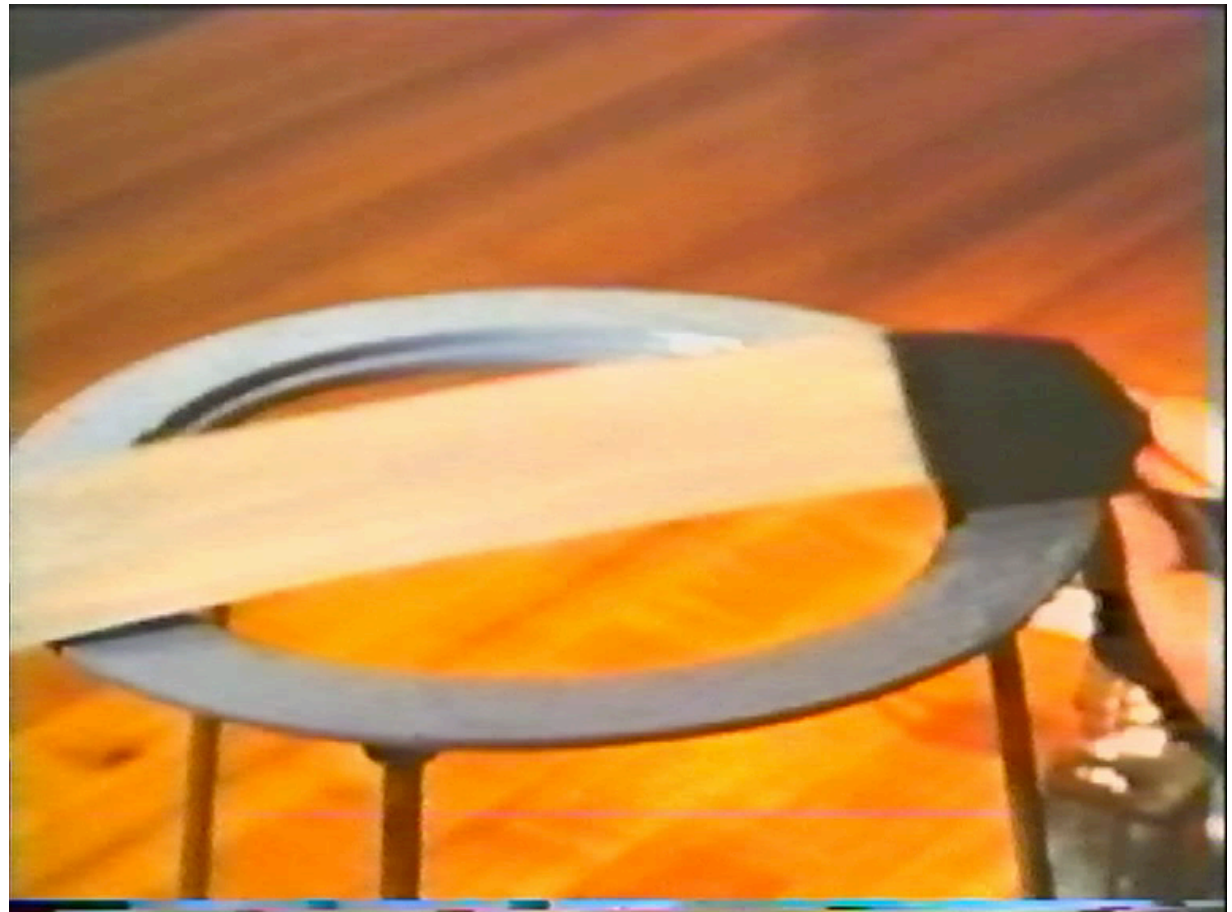
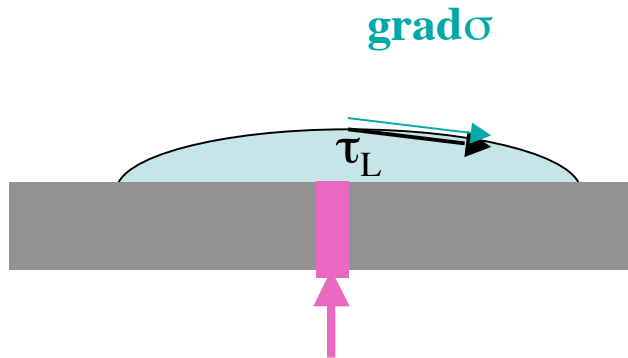
$$J = J_1$$

Loi de Laplace

# Convection Marangoni

$$\tau_L - \tau_G = \mathbf{t} \cdot (\Sigma_L - \Sigma_G) \cdot \mathbf{n} = \text{grad}_s \sigma$$

dû à un gradient de température ou  
de concentration





## Equation de conservation de l'énergie

$$\frac{\partial e_s}{\partial t} + \text{div}_s(e_s \mathbf{v}) - \text{div}_s(\sigma \mathbf{v}) + 2H\sigma \mathbf{n} = \sum_{k=1,2} \left[ J_k \left( e_k + \frac{1}{2} u_k^2 \right) + (\mathbf{P}_k \mathbf{u}_k - \Sigma_k \cdot \mathbf{u}_k + \mathbf{q}_k) \cdot \mathbf{n}_k \right]$$

$$-\mathbf{v} \cdot \left[ -\text{grad}_s(\sigma) + 2H\sigma \mathbf{n} = \sum_{k=1,2} \left[ J_k (\mathbf{u}_k - \mathbf{v}) + \mathbf{P}_k \mathbf{n}_k - \Sigma_k \mathbf{n}_k \right] \right]$$



$$\frac{\partial e_s}{\partial t} + \text{div}_s(e_s \mathbf{v}) - \sigma \text{div}_s(\mathbf{v}) = \sum_{k=1,2} \left[ J_k \left( e_k + \frac{P_k}{\rho_k} + \frac{1}{2} \frac{J_k^2}{\rho_k^2} - \frac{\mathbf{n}_k \cdot \Sigma_k \cdot \mathbf{n}_k}{\rho_k} \right) + \mathbf{q}_k \cdot \mathbf{n}_k \right]$$

faibles

$h_k$  enthalpie de la phase k

$$J(h_2 - h_1) = Jh_{12} = (\mathbf{q}_1 - \mathbf{q}_2) \cdot \mathbf{n} + J \left( \frac{J^2}{2} \left( \frac{1}{\rho_1^2} - \frac{1}{\rho_2^2} \right) - \left( \frac{\Sigma_{1n}}{\rho_1} - \frac{\Sigma_{2n}}{\rho_2} \right) \right)$$

1 liquide

2 vapeur

$$Jh_{1v} \approx \mathbf{q}_1 \cdot \mathbf{n}_1 > 0$$

vaporisation

$$Jh_{1v} \approx \mathbf{q}_1 \cdot \mathbf{n}_1 < 0$$

condensation

## Chapitre 3 Nucléation homogène, hétérogène

1. Notion d'état métastable
2. Equilibre d'un embryon de vapeur dans un liquide surchauffé
3. Taux de nucléation homogène
4. Nucléation hétérogène sur paroi lisse
5. Activation d'embryons préexistants
6. Effet de la couche limite thermique
7. Densité de sites de nucléation

# Notion d'état métastable

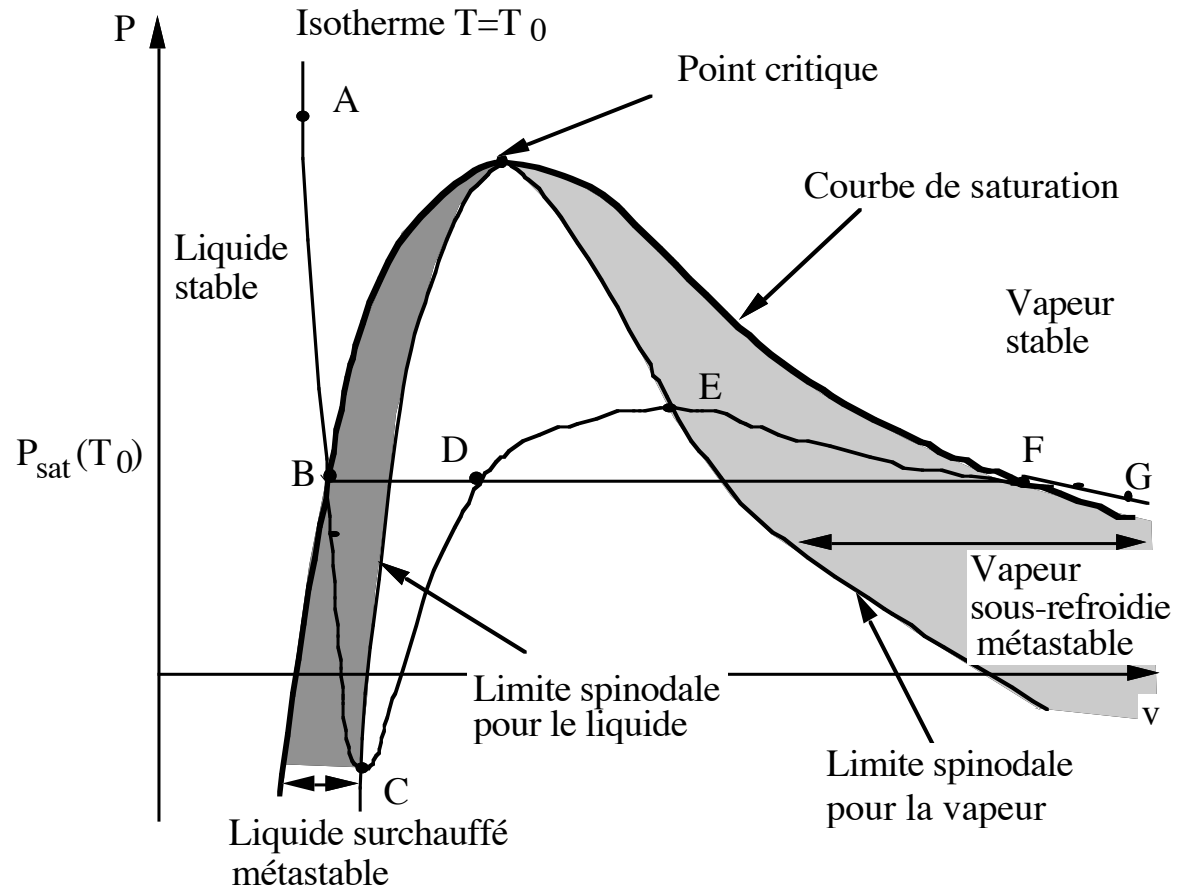
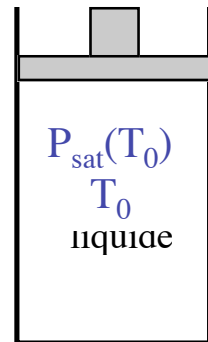


Diagramme de Clapeyron (pression-volume)

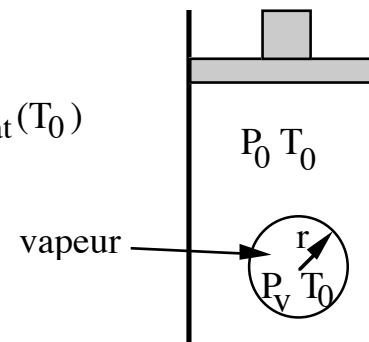
# Equilibre d'un embryon de vapeur dans un liquide surchauffé

Etat initial

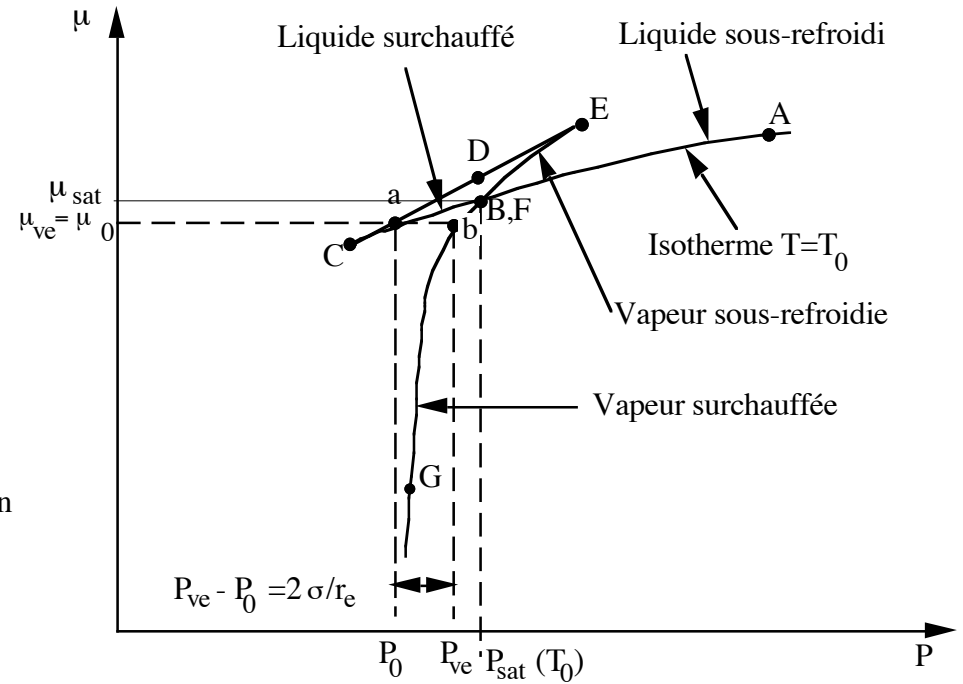
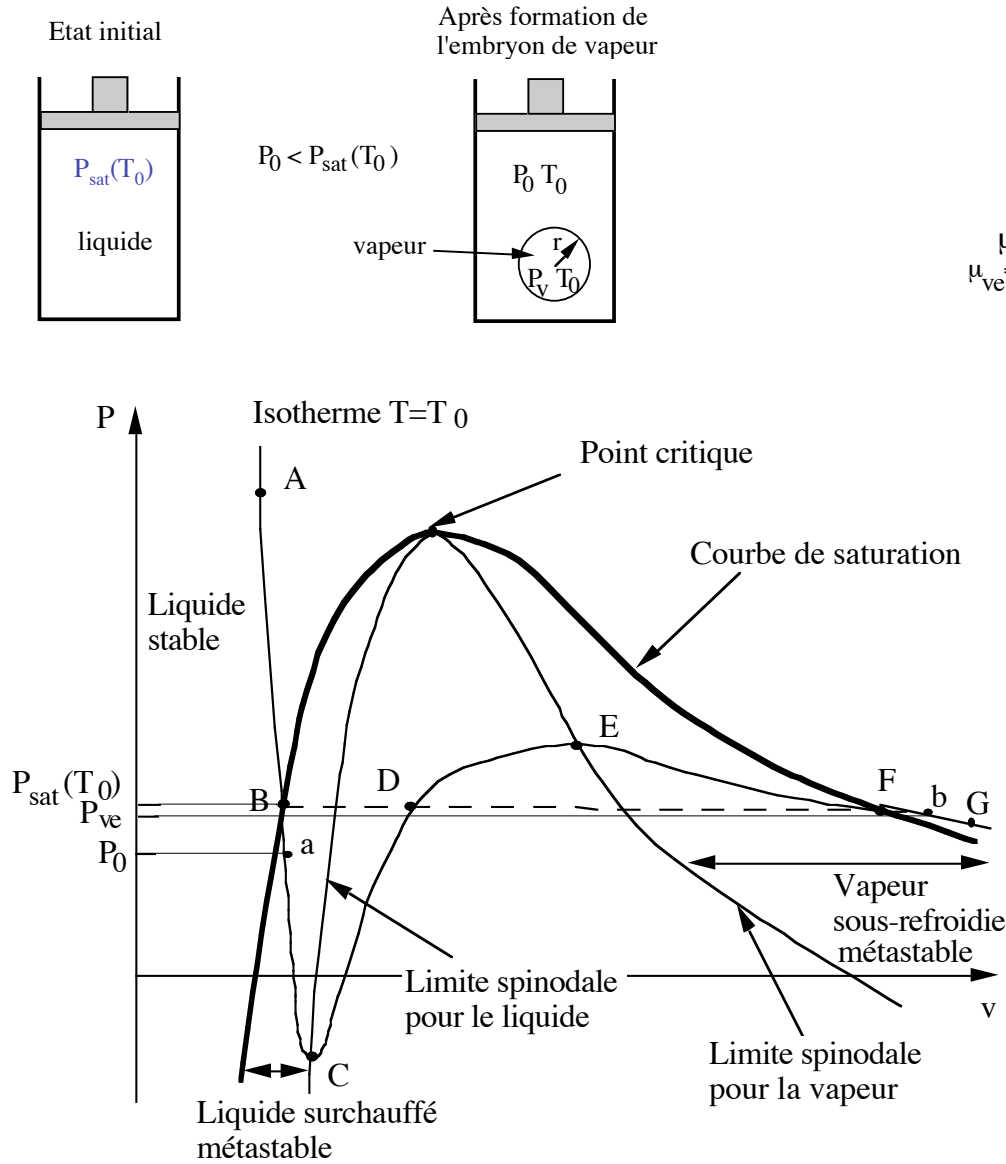


Après formation de l'embryon de vapeur

$$P_0 < P_{\text{sat}}(T_0)$$



# Equilibre d'un embryon de vapeur dans un liquide surchauffé



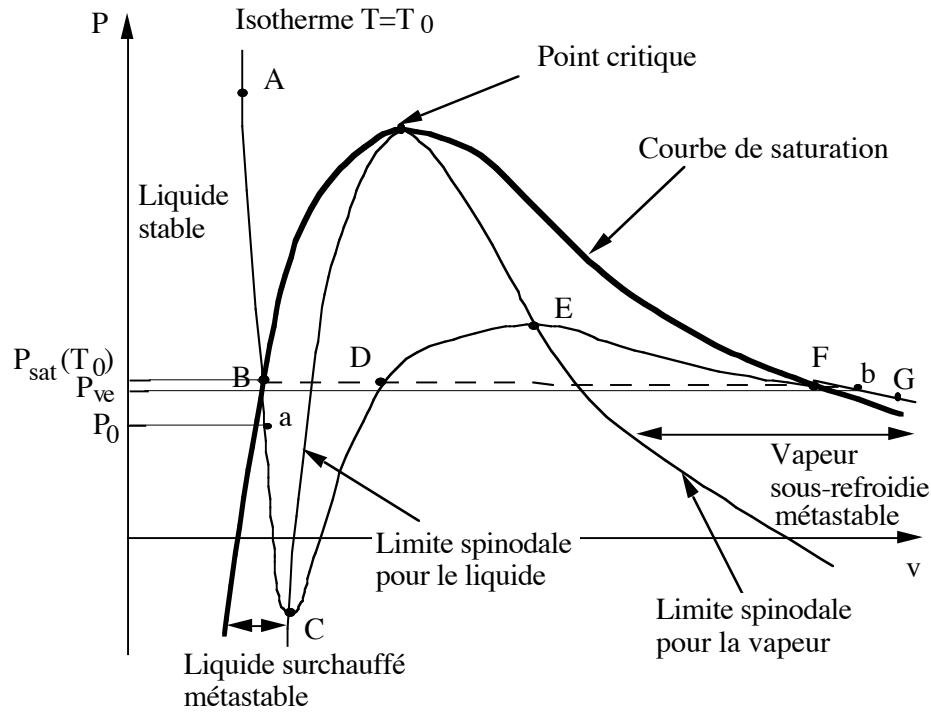
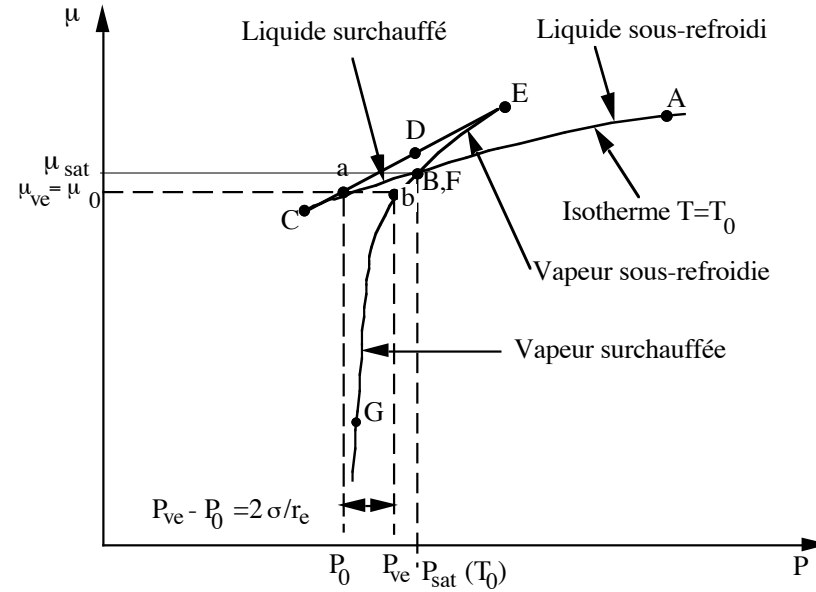
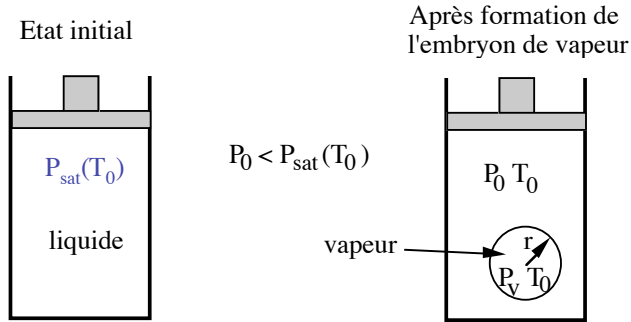
Equation de Gibbs-Duhem

$$d\mu = v dP - s dT$$

Le long d'une isotherme

$$\mu_2 - \mu_1 = \int_{P_1}^{P_2} v dP$$

# Equilibre d'un embryon de vapeur dans un liquide surchauffé



État initial  $T_0$  et  $P_{sat}(T_0)$

$$\mu - \mu_{sat} = \int_{P_{sat}(T_0)}^P v dP$$

vapeur

$$\mu_{ve} = \mu_{sat,v} + RT_0 \ln\left(\frac{P_{ve}}{P_{sat}(T_0)}\right)$$

liquide

$$\mu_0 = \mu_{sat,0} + v_l(P_0 - P_{sat}(T_0))$$

$$P_{ve} = P_0 + \frac{2\sigma}{r_e}$$



$$r_e = \frac{2\sigma}{P_{sat}(T_0) \exp\left(\frac{v_l(P_0 - P_{sat}(T_0))}{RT_0}\right) - P_0}$$

## Stabilité d'un embryon de vapeur

Fonction exergie :  $A = E - T_0 S + P_0 V$

Variation d'exergie due à la formation d'un embryon de vapeur de rayon  $r$

$$\Delta A = m_v [e_v - T_0 s_v + P_0 v_v - (e_l - T_0 s_l + P_0 v_l)] + \sigma \Delta S_{\text{bulle}}$$

$$\Delta A = m_v [g_v(T_0, P_v) - g_l(T_0, P_0) + (P_0 - P_v) v_v] + 4\pi\sigma r^2$$

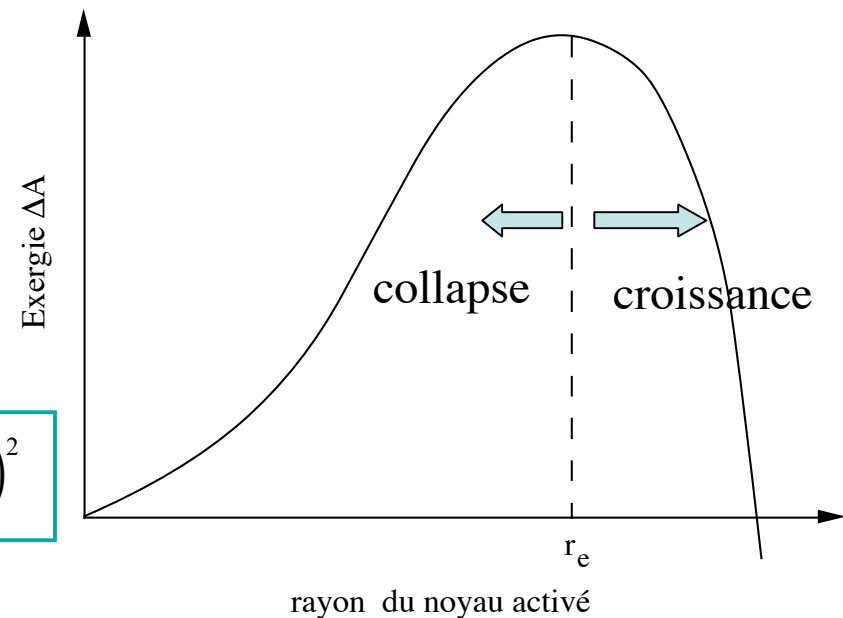
à l'équilibre  $r=r_e$

$$\Delta A_e = m_v \left[ -\frac{2\sigma}{r_e} v_v \right] + 4\pi\sigma r_e^2 = \frac{4}{3}\pi\sigma r_e^2$$

$$\Delta A = \Delta A_e + \left( \frac{d\Delta A}{dr} \right)_{r=r_e} (r - r_e) + \frac{1}{2} \left( \frac{d^2\Delta A}{dr^2} \right)_{r=r_e} (r - r_e)^2 + \dots$$

$$= \frac{4}{3}\pi r_e^2 \sigma - \frac{4}{3}\pi\sigma \left[ 2 + \frac{P_0}{P_{ve}} \right] (r - r_e)^2 + \dots \approx \frac{4}{3}\pi r_e^2 \sigma - \frac{8}{3}\pi\sigma (r - r_e)^2$$

instable  $\leftarrow < 0$



## Taux de nucléation homogène

Nombre d'embryons de vapeur à n molécules/ volume :  $N_n = N_1 \exp\left(\frac{-\Delta A(r)}{k_B T_0}\right)$

Taux de croissance volumique d'un embryon de vapeur de n à n+1 molécules :

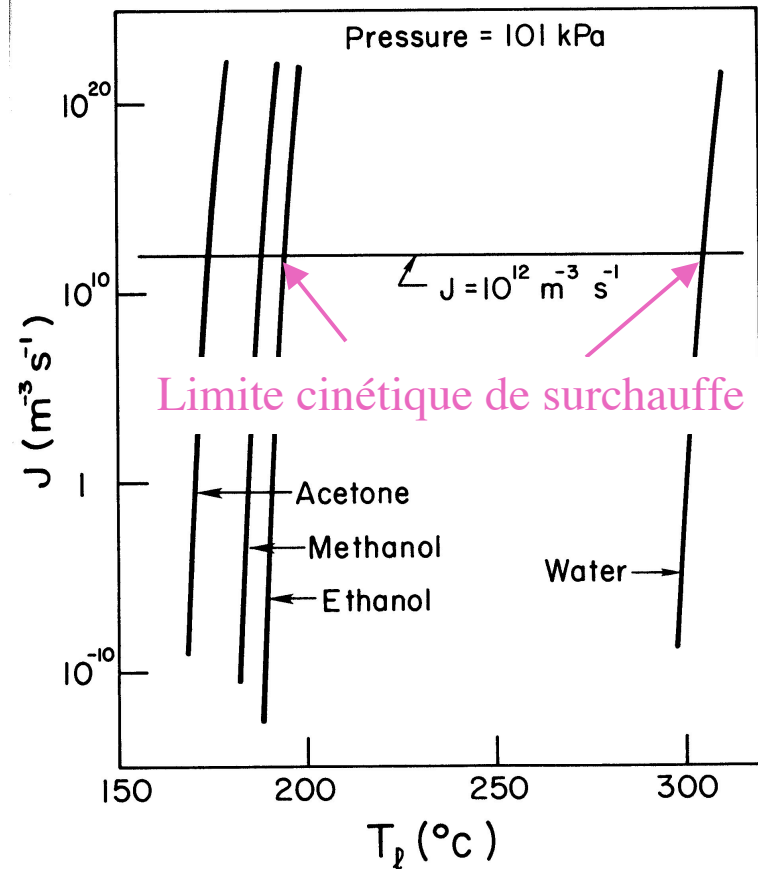
$$J = N_1 \left(\frac{3\sigma}{\pi m}\right)^{1/2} \exp\left(\frac{-\Delta A(r_e)}{k_B T_0}\right) = N_1 \left(\frac{3\sigma}{\pi m}\right)^{1/2} \exp\left(\frac{-4\pi\sigma r_e^2}{3k_B T_0}\right)$$

$$= N_1 \left(\frac{3\sigma}{\pi m}\right)^{1/2} \exp\left(\frac{-16\pi\sigma^3}{3k_B T_0 (P_{ve} - P_0)^2}\right)$$

$$k_B = R/N_A$$

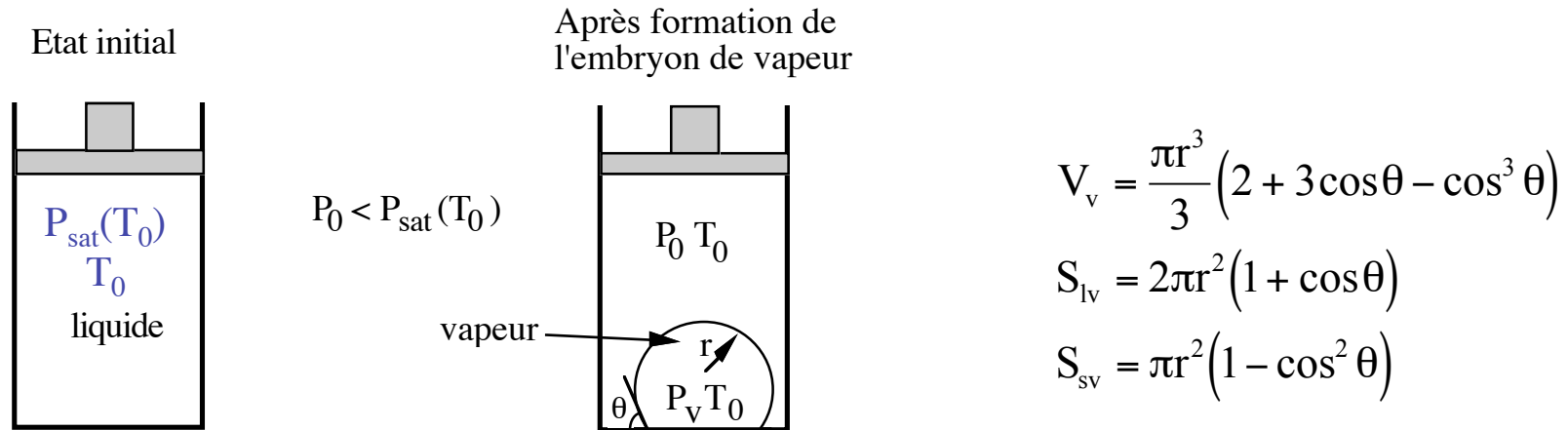
$$P_{ve} = \eta P_{sat}(T_0) \text{ avec } \eta = \exp(v_l(P_0 - P_{sat}(T_0))/RT_0).$$

$$J = N_1 \left(\frac{3\sigma}{\pi m}\right)^{1/2} \exp\left(\frac{-16\pi\sigma^3}{3k_B T_0 (\eta P_{sat}(T_0) - P_0)^2}\right)$$





## Nucléation hétérogène sur paroi lisse



$$\Delta A = m_v \left[ e_v - T_0 s_v + P_0 v_v - (e_l - T_0 s_l + P_0 v_l) \right] + \sigma_{lv} S_{lv} + \sigma_{sv} S_{sv} + \sigma_{sl} (S_{sl} - S)$$

$$\Delta A_e = \frac{4}{3} \pi r_c^2 \sigma_{lv} F(\theta) \quad \text{avec} \quad F(\theta) = \frac{2 + 3 \cos \theta - \cos^3 \theta}{4}$$

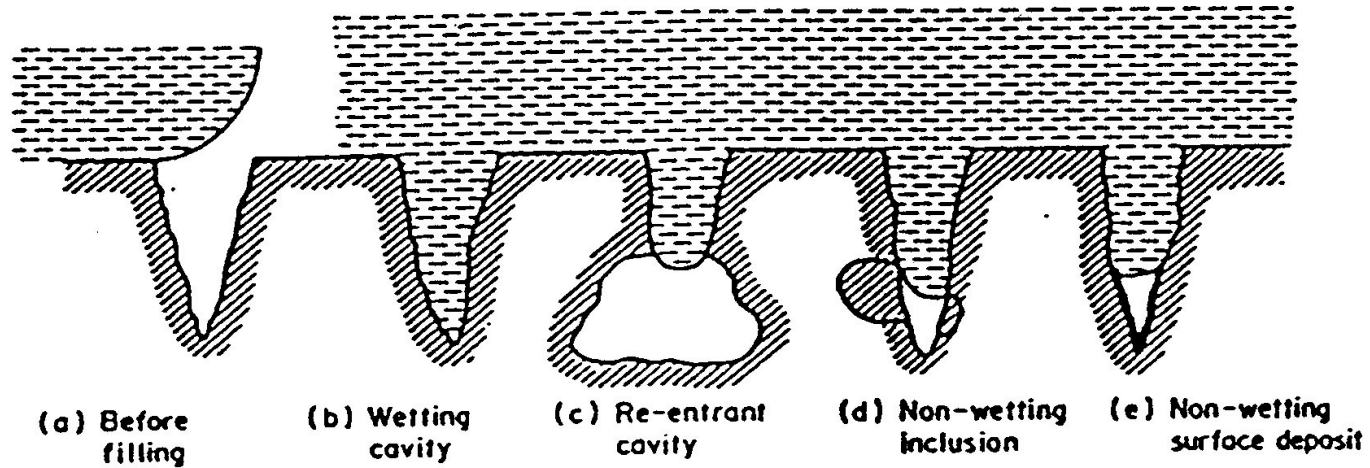
Nombre d'embryons de  $n$  molécules par unité de surface

$$N_n = N_1^{2/3} \exp\left(\frac{-\Delta A(r)}{k_B T_0}\right)$$

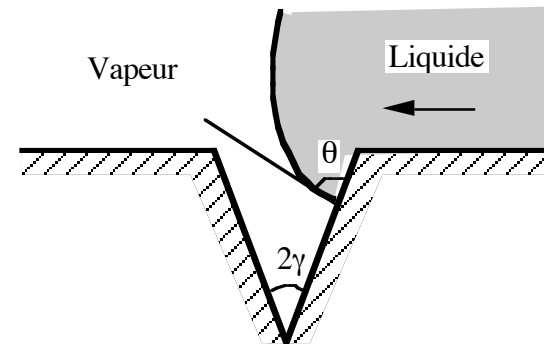
Taux de nucléation par unité de surface

$$J = N_1^{2/3} \frac{1 + \cos \theta}{2F} \left( \frac{3\sigma_{lv} F}{\pi m} \right)^{1/2} \exp\left(\frac{-16\pi\sigma_{lv}^3 F}{3k_B T_0 (P_{ve} - P_0)^2}\right)$$

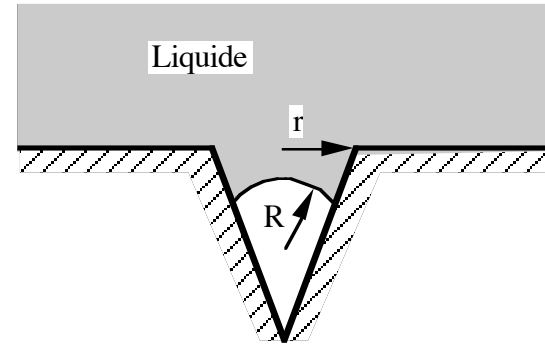
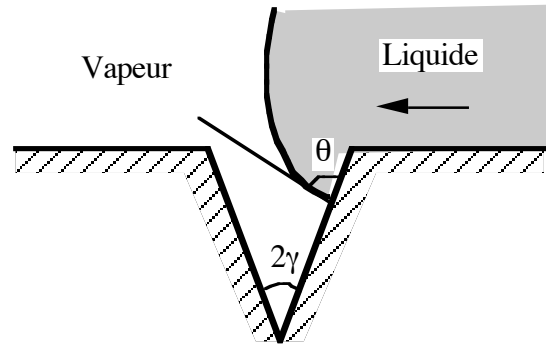
# Piégeage d'embryons de vapeur dans des cavités de paroi



Critère de Bankoff :  $\theta > 2\gamma$



# Piégeage d'embryons de vapeur dans des cavités de paroi

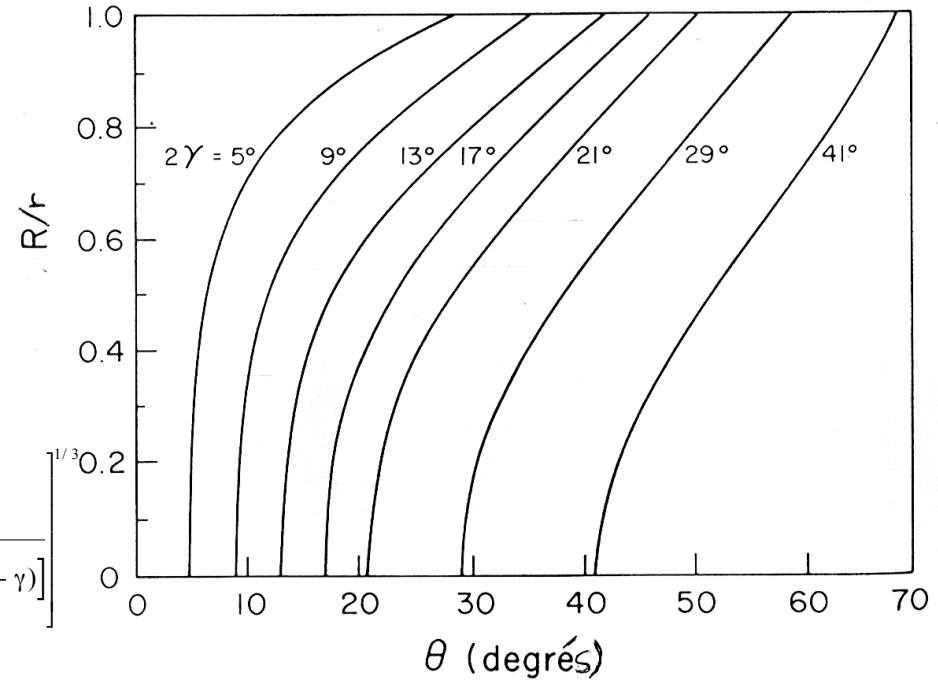


Modèle de Lorentz et al.

pour fluides mouillants :

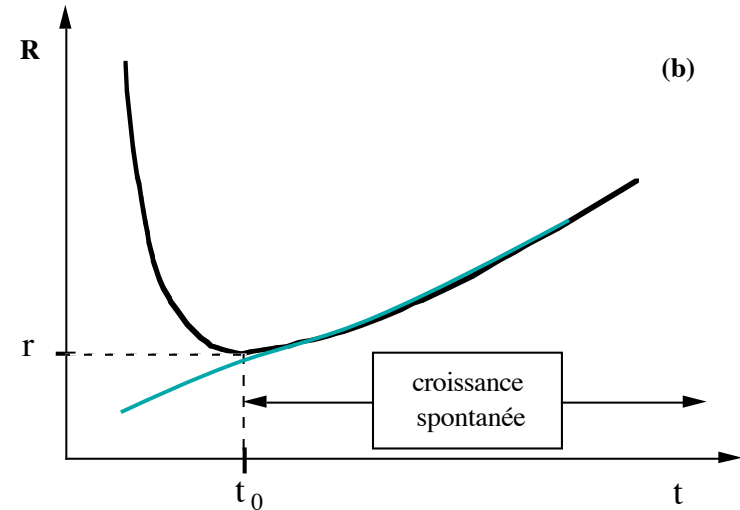
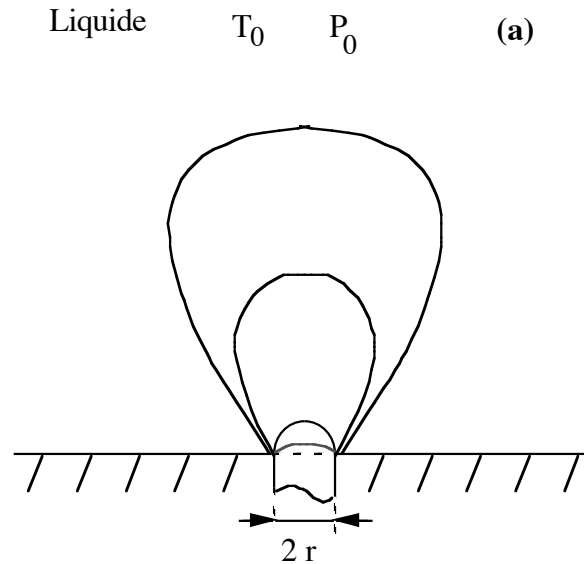
$$\frac{R_{\text{initial}}}{r} = f(\theta, 2\gamma)$$

$$f(\theta, \gamma) = \left[ \frac{\sin(\theta - 2\gamma) \left[ \frac{\tan \gamma}{\tan(\theta - \gamma)} - 1 \right]^2}{\sin \gamma \sin(\theta - \gamma) \left[ 1 - \frac{\tan^2 \gamma}{\tan^2(\theta - \gamma)} \right]^{3/2}} \right] * \frac{1}{\frac{\cos^3(\theta - \gamma)}{\tan \gamma} + [2 - 3 \sin(\theta - \gamma) + \sin^3(\theta - \gamma)]}$$



## Activation des embryons de vapeur

Fluides peu mouillants  $R > r$



Liquide à  $T > T_{\text{sat}}(P_0)$

$$R = \frac{2\sigma(T)}{P_{\text{sat}}(T) - P_0}$$

$$\frac{dP}{dT} = \frac{h_{\text{lv}}}{T_{\text{sat}}(T_0)(v_v - v_l)}$$

Activation d'un site de rayon  $r$  pour  $T_0$  :  $T_0 - T_{\text{sat}}(P_0) > \frac{2\sigma(T_0)T_{\text{sat}}(P_0)v_v}{r h_{\text{lv}}}$

Fluides mouillants  $R < r$   
 $\Rightarrow$  croissance spontanée si :

$$T_0 - T_{\text{sat}}(P_0) > \frac{2\sigma(T_0)T_{\text{sat}}(P_0)v_v}{R_{\text{initial}} h_{\text{lv}}}$$

## Effet de la couche limite thermique : modèle de Hsu

$$\frac{\partial \theta}{\partial t} = \alpha_1 \frac{\partial^2 \theta}{\partial y^2}$$

$$\theta = T - T_0$$

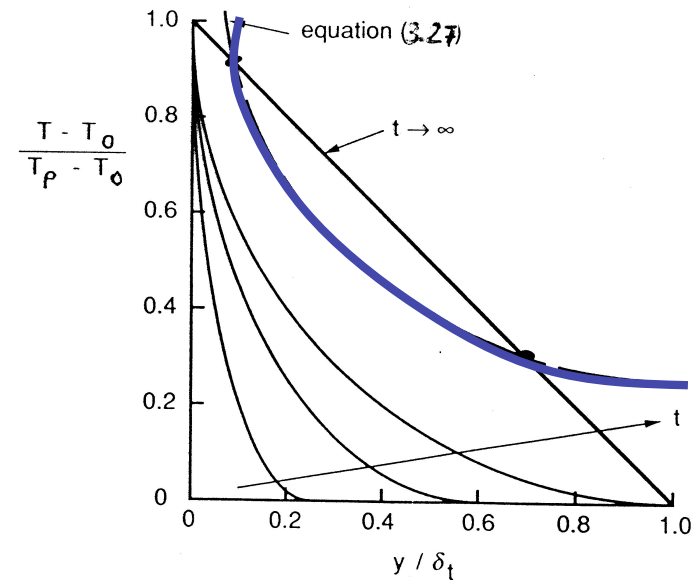
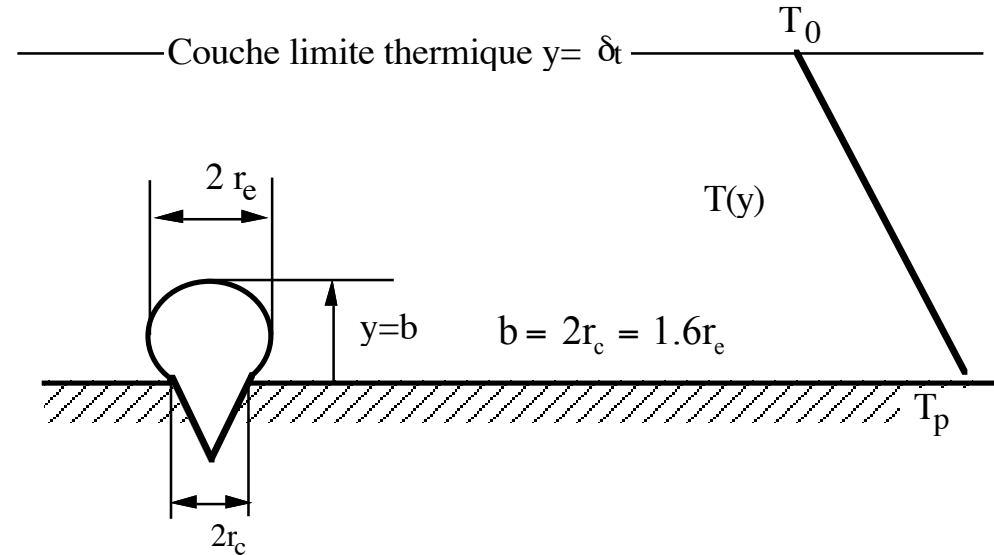
$$\begin{array}{lll} t = 0 & \theta = 0 & \text{et } y = \delta_t \quad \theta = 0 \\ t > 0 & y = 0 & \theta = \theta_p = T_p - T_0 \end{array}$$



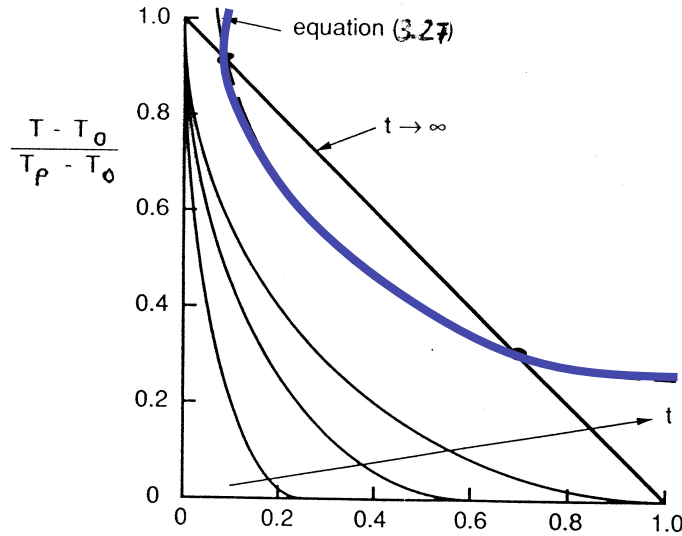
$$\frac{T - T_0}{T_p - T_0} = \frac{\delta_t - y}{\delta_t} + \frac{2}{\pi} \sum_{n=1}^{\infty} \frac{\cos n\pi}{n} \sin \left[ n\pi \frac{\delta_t - y}{\delta_t} \right] \exp \left[ -n^2 \pi^2 \alpha_1 t / \delta_t^2 \right]$$

Condition d'activation du site

$$T(y = b) > T_{\text{sat}}(P_0) + \frac{2\sigma T_{\text{sat}}(P_0)}{\rho_v h_{\text{lv}} r_e}$$



# Effet de la couche limite thermique : modèle de Hsu

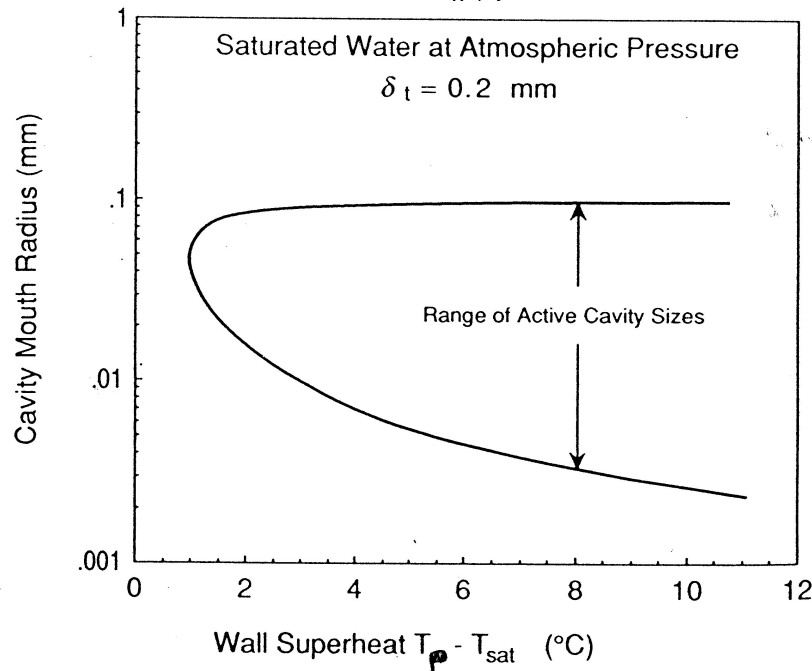


## Condition d'activation du site

$$T(y = b) > T_{\text{sat}}(P_0) + \frac{2\sigma T_{\text{sat}}(P_0)}{\rho_v h_{\text{lv}} r_e}$$

$$T(y = b) = T_0 + (T_p - T_0) \frac{\delta_t - b}{\delta_t}$$

avec  $b = 1,6 r_e$



## Trinôme en $r_e$

$$\left(\frac{2r_c}{\delta_t}\right)^2 + \left(\frac{\theta_{\text{sat}}}{\theta_p} - 1\right) \left(\frac{2r_c}{\delta_t}\right) + \frac{3.2\sigma T_{\text{sat}}(P_0)}{\rho_v h_{\text{lv}} \delta_t \theta_p} < 0$$

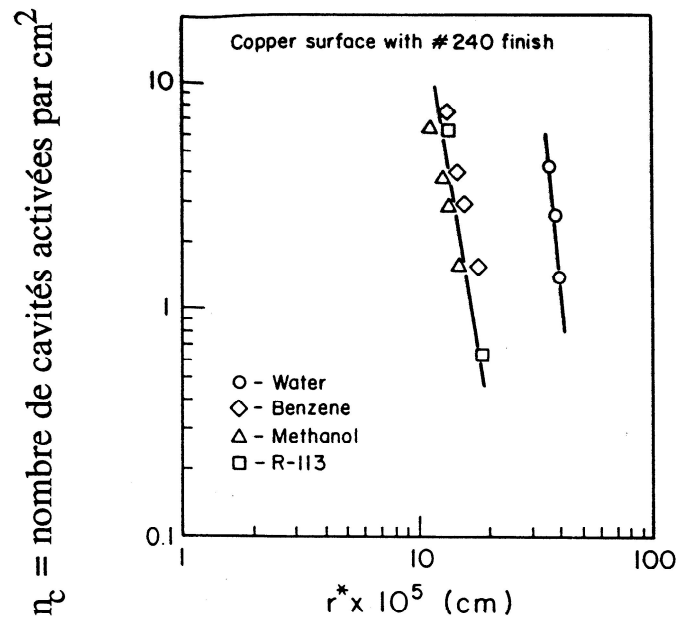
$$\left\{ \begin{array}{l} r_{c,\text{max}} \\ r_{c,\text{min}} \end{array} \right\} = \frac{\delta_t}{4} \left[ 1 - \frac{\theta_{\text{sat}}}{\theta_p} \left\{ \begin{array}{l} + \\ - \end{array} \right\} \pm \sqrt{\left(1 - \frac{\theta_{\text{sat}}}{\theta_p}\right)^2 - \frac{12.8\sigma T_{\text{sat}}(P_0)}{\rho_v h_{\text{lv}} \delta_t \theta_p}} \right]$$

## Densité de sites activés

Nombre de cavités de rayon  $> r$  par unité de surface :

$$n_c = \left( \frac{r_0}{r} \right)^m$$

Nombre de cavités activées (pour  $T_0$ ) par unité de surface :  $n_c = \left( \frac{r_0 (T_0 - T_{\text{sat}}(P_0)) h_{\text{lv}}}{2\sigma(T_0) T_{\text{sat}}(P_0) v_v} \right)^m$



$$n_c \sim (T_0 - T_{\text{sat}})^m \text{ avec } m=4 \text{ ou } 5$$

$$n_c \sim q^m$$

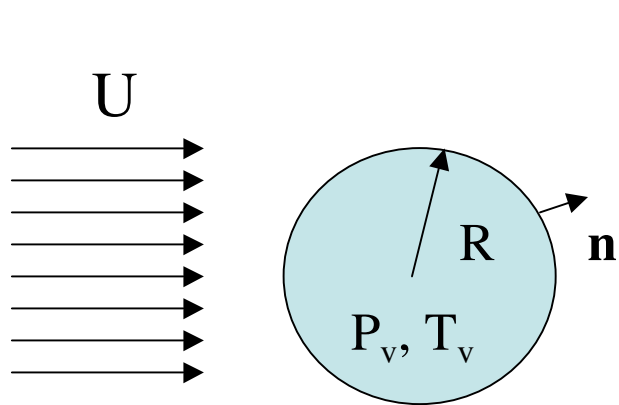
Fortes interactions entre les sites de nucléation

## Chapitre 4 Dynamique et transfert à l'échelle d'une bulle

1. Ebullition ou condensation d'une bulle de vapeur en milieu infini
2. Croissance de bulles sur une paroi chauffée
3. Dynamique de bulles en croissance
4. Diamètres de bulles et fréquence de détachement



# Ebullition ou condensation d'une bulle de vapeur dans un écoulement surchauffé ou sous refroidi



liquide  
 $P_0, T_0$

$R(t)$  contrôlée par les bilans interfaciaux de masse

$$J = \rho_v (\mathbf{u}_v - \mathbf{v}) \cdot \mathbf{n} = \rho_l (\mathbf{u}_l - \mathbf{v}) \cdot \mathbf{n}$$

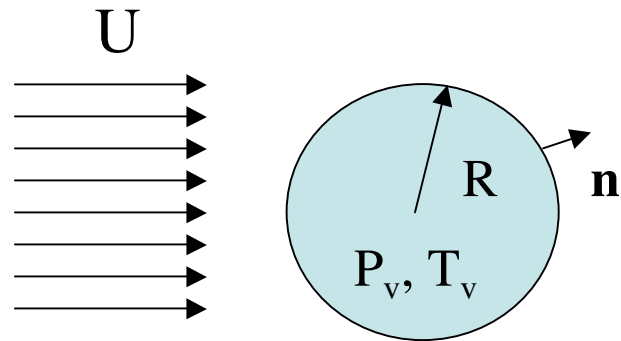
Flux de masse intégré sur la surface de la bulle

$$JA = \int_A \rho_v (\mathbf{u}_v - \mathbf{v}) \cdot \mathbf{n} dA = \int_V \nabla \cdot (\rho_v \mathbf{u}_v) dV - \rho_v \frac{dR}{dt} A$$

$$J = -\rho_v \frac{dR}{dt} = \rho_l (\mathbf{u}_l - \mathbf{v}) \cdot \mathbf{n} = \rho_l \mathbf{u}_l \cdot \mathbf{n} - \rho_l \frac{dR}{dt}$$

$$\mathbf{u}_l \cdot \mathbf{n} = \frac{dR}{dt} \left( 1 - \frac{\rho_v}{\rho_l} \right) \approx \frac{dR}{dt}$$

# Ebullition ou condensation d'une bulle de vapeur dans un écoulement surchauffé ou sous refroidi



liquide  
 $P_0, T_0$

$R(t)$  contrôlée par les bilans interfaciaux de masse

$$\mathbf{u}_1 \cdot \mathbf{n} = \frac{dR}{dt} \left( 1 - \frac{\rho_v}{\rho_l} \right) \approx \frac{dR}{dt}$$

de quantité de mouvement

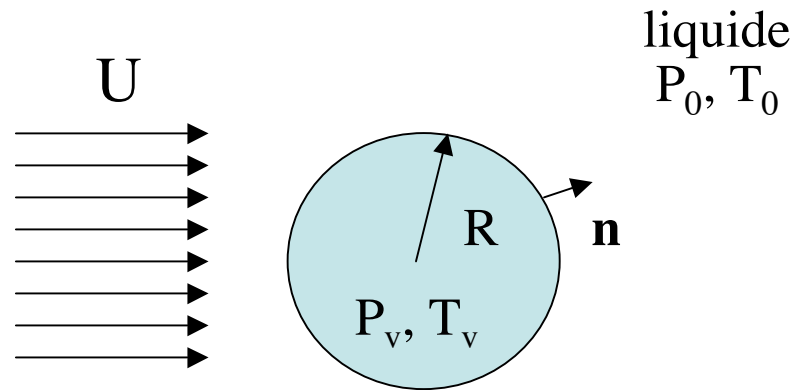
$$P_v - P_l - \mathbf{n} \cdot (\boldsymbol{\Sigma}_v - \boldsymbol{\Sigma}_l) \cdot \mathbf{n} + J^2 \left( \frac{1}{\rho_v} - \frac{1}{\rho_l} \right) = 2H\sigma$$

$$\mathbf{n} \cdot (\boldsymbol{\Sigma}_v - \boldsymbol{\Sigma}_l) \cdot \mathbf{t} = \nabla_s \sigma = 0$$

d'énergie

$$J \left[ h_{lv} + \frac{J^2}{2} \left( \frac{1}{\rho_v^2} - \frac{1}{\rho_l^2} \right) - \mathbf{n} \cdot \left( \frac{\boldsymbol{\Sigma}_v}{\rho_v} - \frac{\boldsymbol{\Sigma}_l}{\rho_l} \right) \cdot \mathbf{n} \right] + (-k_v \nabla T_v + k_l \nabla T_l) \cdot \mathbf{n} = 0$$

# Ebullition ou condensation d'une bulle de vapeur dans un écoulement surchauffé ou sous refroidi



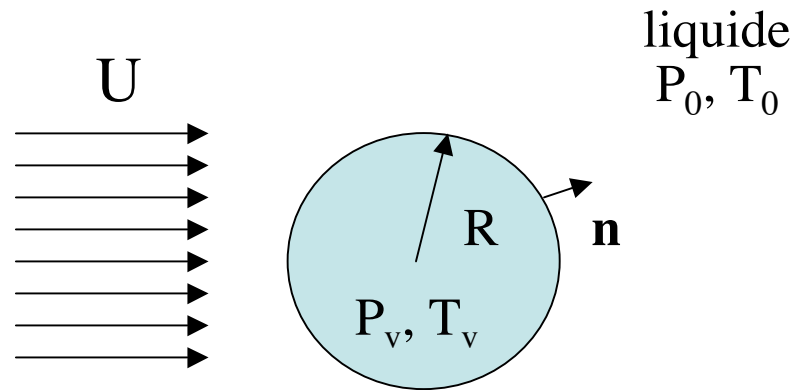
## Bilan interfaciaux

$$\mathbf{u}_l \cdot \mathbf{n} = \mathbf{v} \cdot \mathbf{n} = \frac{dR}{dt} \quad ; \quad \mathbf{u}_l \cdot \mathbf{t} = \mathbf{v} \cdot \mathbf{t} = \mathbf{u}_v \cdot \mathbf{t}$$

$$P_v - P_l + \mathbf{n} \cdot \Sigma_l \cdot \mathbf{n} + \frac{J^2}{\rho_v} = \frac{2\sigma}{R(t)} \approx P_v - P_l \quad ; \quad \mathbf{n} \cdot \Sigma_l \cdot \mathbf{t} = 0$$

$$T_v = T_l = T_i \quad ; \quad \rho_v \frac{d}{dt} \left( \frac{4}{3} \pi R^3 \right) h_{lv} = k_l 4\pi R^2 \left. \frac{dT_l}{dr} \right|_{r=R(t)} \Rightarrow \rho_v \frac{dR}{dt} h_{lv} = k_l \left. \frac{dT_l}{dr} \right|_{r=R(t)}$$

# Ebullition ou condensation d'une bulle de vapeur dans un écoulement surchauffé ou sous refroidi



## Equations de conservation

$$\left\{ \begin{array}{l} \nabla \cdot \mathbf{u}_1 = 0 \\ \frac{\partial \mathbf{u}_1}{\partial t} + \nabla \cdot (\mathbf{u}_1 \otimes \mathbf{u}_1) = -\frac{\nabla P_1}{\rho_1} + \nabla \cdot \boldsymbol{\tau}_1 \\ \frac{\partial T_1}{\partial t} + \nabla \cdot (T_1 \mathbf{u}_1) = \alpha_1 \nabla^2 T_1 \end{array} \right.$$

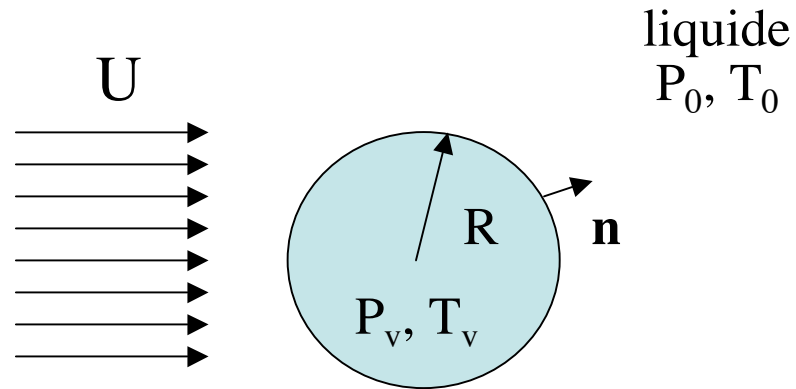
## Conditions aux limites à l'interface

$$\left\{ \begin{array}{l} \mathbf{u}_1 \cdot \mathbf{n} = \mathbf{v} \cdot \mathbf{n} = \frac{dR}{dt} \quad ; \quad \mathbf{u}_1 \cdot \mathbf{t} = \mathbf{v} \cdot \mathbf{t} = \mathbf{u}_v \cdot \mathbf{t} \\ \frac{2\sigma}{R(t)} \approx P_v - P_1 \quad ; \quad \mathbf{n} \cdot \boldsymbol{\Sigma}_1 \cdot \mathbf{t} = 0 \\ T_v = T_1 = T_i \quad ; \quad \rho_v \frac{dR}{dt} h_{lv} = k_1 \left. \frac{dT_1}{dr} \right|_{r=R(t)} \end{array} \right.$$

## à l'infini

$$\begin{array}{l} r \rightarrow \infty \quad P_1(r, t) \rightarrow P_0 \\ \quad \quad \quad T_1(r, t) \rightarrow T_0 \end{array}$$

# Ebullition ou condensation d'une bulle de vapeur dans un écoulement surchauffé ou sous refroidi



Ebullition  
dans un liquide au repos

Ebullition dans un  
écoulement uniforme

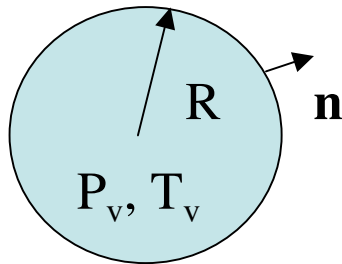
Condensation dans  
un liquide au repos

Condensation dans un  
écoulement uniforme

# Ebullition dans un liquide au repos

$$T_0 > T_{\text{sat}}(P_0)$$

liquide  
 $P_0, T_0$



Equation de Rayleigh

Intégration entre  $r=R$  et  $r \rightarrow \infty$

$$R \frac{d^2 R}{dt^2} + \frac{3}{2} \left( \frac{dR}{dt} \right)^2 = \frac{1}{\rho_l} [P_1(R, t) - P_0]$$

$$= \frac{1}{\rho_l} \left[ P_v - P_0 - \frac{2\sigma}{R} \right]$$

Fort couplage dynamique-thermique

Equations de conservation

$$\frac{1}{r^2} \frac{\partial}{\partial r} (r^2 u_{lr}) = 0 \quad \rightarrow \quad u_{lr} = \frac{dR}{dt} \frac{R^2}{r^2}$$

$$\frac{\partial u_{lr}}{\partial t} + u_{lr} \frac{\partial u_{lr}}{\partial r} = -\frac{1}{\rho_l} \frac{\partial P_1}{\partial r}$$

$$\frac{\partial T_1}{\partial t} + u_{lr} \frac{\partial T_1}{\partial r} = \alpha_l \frac{1}{r^2} \frac{\partial}{\partial r} \left( r^2 \frac{\partial T_1}{\partial r} \right)$$

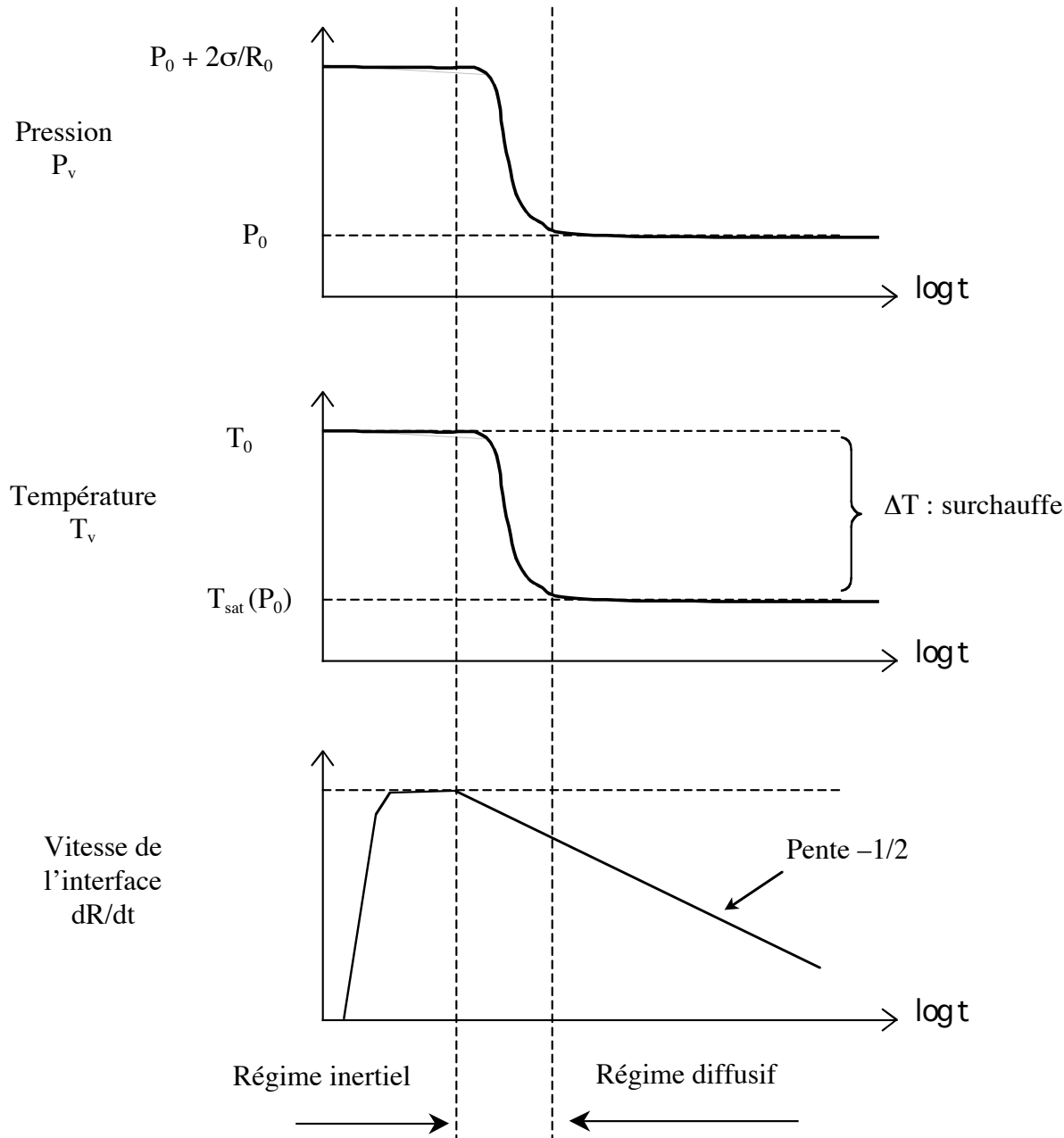
Conditions aux limites

$$\left\{ \begin{array}{l} r \rightarrow \infty \quad P_1(r, t) \rightarrow P_0 \quad ; \quad T_1(r, t) \rightarrow T_0 \\ \mathbf{u}_l \cdot \mathbf{n} = \mathbf{v} \cdot \mathbf{n} = \frac{dR}{dt} \quad ; \quad \mathbf{u}_l \cdot \mathbf{t} = \mathbf{v} \cdot \mathbf{t} = \mathbf{u}_v \cdot \mathbf{t} \end{array} \right.$$

$$\frac{2\sigma}{R(t)} \approx P_v - P_1 \quad ; \quad \mathbf{n} \cdot \Sigma_l \cdot \mathbf{t} = 0$$

$$T_v = T_l = T_i \quad ; \quad \rho_v \frac{dR}{dt} h_{lv} = k_l \left. \frac{dT_1}{dr} \right|_{r=R(t)}$$

# Régime inertiel et régime thermique



Régime inertiel contrôlé par l'inertie du liquide

$$P_v = P_0 + \frac{2\sigma}{R} \quad T_v \approx T_0$$

Régime thermique contrôlé par la diffusion de la chaleur à travers la couche limite thermique entourant la bulle

$$P_v \approx P_0 \quad T_v = T_{\text{sat}}(P_0) < T_0$$

# Ebullition dans un liquide au repos

## Régime inertiel

$$R \frac{d^2R}{dt^2} + \frac{3}{2} \left( \frac{dR}{dt} \right)^2 = \frac{1}{\rho_l} [P_v(R,t) - P_0] = \frac{1}{\rho_l} \left[ P_v - P_0 - \frac{2\sigma}{R} \right]$$

$$P_v - P_0 = \frac{2\sigma}{R_0}$$

$R_0$  embryon de vapeur en équilibre avec la surchauffe  $T_0 - T_{\text{sat}}(P_0)$

Intégration de  $R_0$  à  $R(t)$  avec  $R/R_0 \gg 1$

$$\frac{dR}{dt} = \sqrt{\frac{2(P_v - P_0)}{3\rho_l}}$$

$$P_v - P_0 = P_{\text{sat}}(T_0) - P_0 = \rho_v h_{\text{lv}} \frac{T_0 - T_{\text{sat}}(P_0)}{T_{\text{sat}}(P_0)}$$

$$R(t) = \left[ \frac{2}{3} \left( \frac{(T_0 - T_{\text{sat}}(P_0))}{T_{\text{sat}}(P_0)} \right) \frac{\rho_v h_{\text{lv}}}{\rho_l} \right]^{1/2} t$$

Evolution linéaire



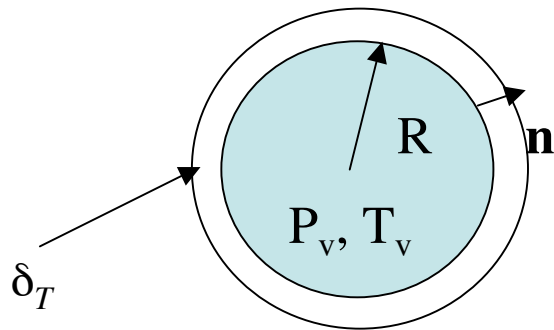
# Ebullition dans un liquide au repos

$$T_0 > T_{\text{sat}}(P_0)$$

liquide  
 $P_0, T_0$

## Régime thermique

Hypothèse de couche limite thermique mince :  
Solution de **Plesset et Zwick (1953)**



$$\rho_v \frac{dR}{dt} h_{lv} = k_l \left. \frac{dT_l}{dr} \right|_{r=R(t)} \approx k_l \frac{T_0 - T_v}{\delta_T} \approx k_l \frac{T_0 - T_v}{\sqrt{\alpha_1 t}}$$

$$R = 2\sqrt{\frac{3}{\pi}} \text{Ja} \sqrt{\alpha_1 t}$$

$$\text{Ja} = \frac{\rho_l C_{pl} (T_0 - T_v)}{\rho_v h_{lv}}$$

$$R \approx \frac{k_l (T_0 - T_v)}{\alpha_1 \rho_v h_{lv}} \sqrt{\alpha_1 t}$$

Valable pour Ja grand

Solution analytique de **Scriven (1959)** valable  $\forall \text{Ja}$

Transfert thermique autour de la bulle constant

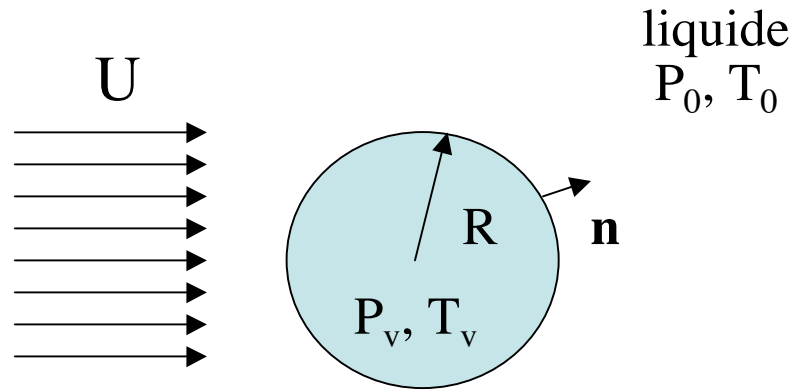
$$\text{Nu}(t) = \frac{2R}{k_l (T_0 - T_v)} \frac{1}{A} \int_A -k_l \nabla T_l \cdot \mathbf{ndS}$$

$$= \frac{2\rho_v h_{lv}}{k_l (T_0 - T_v)} R \frac{dR}{dt} = 4\text{Ja} [f(\text{Ja})]^2$$

$$R = 2f(\text{Ja}) \text{Ja} \sqrt{\alpha_1 t}$$

$$\begin{array}{ll} f(\text{Ja}) \rightarrow \frac{1}{\sqrt{2\text{Ja}}} & f(\text{Ja}) \rightarrow \sqrt{\frac{3}{\pi}} \\ \text{Ja} \rightarrow 0 & \text{Ja} \rightarrow \infty \end{array}$$

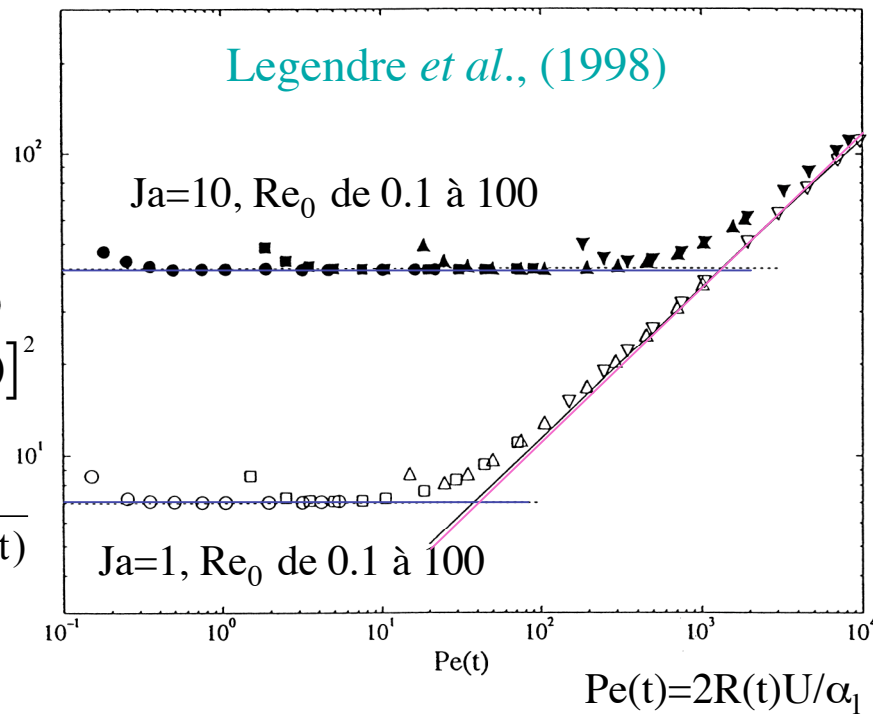
# Ebullition dans un écoulement



L'advection augmente le transfert thermique autour de la bulle

$$\text{Si } C = \frac{dR/dt}{U} > \frac{2}{[f(\text{Ja})]^2} \rightarrow \text{Nu} = 4\text{Ja} \cdot [f(\text{Ja})]^2$$

$$\text{Si } C = \frac{dR/dt}{U} < \frac{2}{[f(\text{Ja})]^2} \rightarrow \text{Nu} = \frac{2}{\sqrt{\pi}} \sqrt{\text{Pe}(t)}$$



Ruchenstein & Davis (1971)

$$\text{Nu}(t) = \frac{2\rho_v h_{lv}}{k_1(T_0 - T_v)} R \frac{dR}{dt} = \frac{2}{\sqrt{\pi}} \sqrt{\frac{UR}{\alpha_1}} \rightarrow R(t) = \left( \frac{3\alpha_1 U \text{Ja}^2 t^2}{\pi} \right)^{1/3} ; \frac{dR}{dt} = \left( \frac{3\alpha_1 U \text{Ja}^2}{3\pi t} \right)^{1/3}$$

Velocity

$$Ja = 5$$

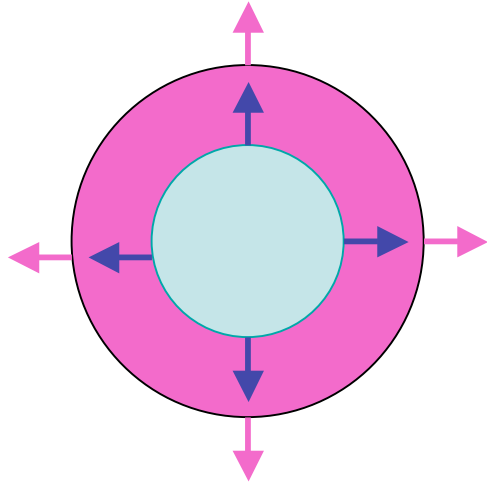
$$Re_0 = 10 \quad Pr = 1.75$$

Temperature

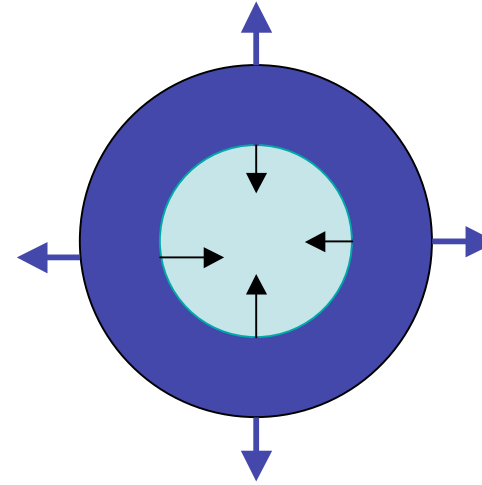
$$Ja = 5$$

$$Re_0 = 10 \quad Pr = 1.75$$

## Condensation dans un liquide au repos



Ebullition

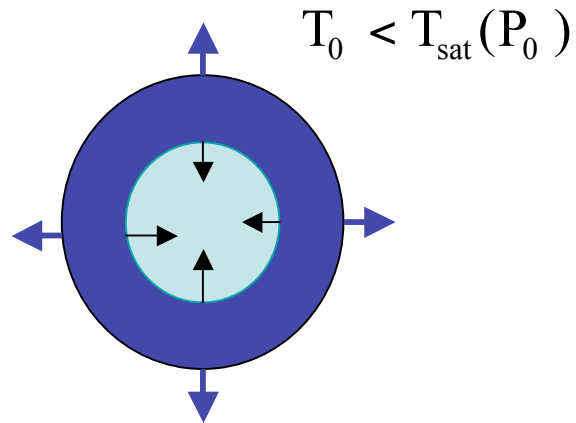


Condensation

L'épaisseur de la couche limite thermique augmente

Pas de solution analytique générale  $R(t)$  en condensation

# Condensation dans un liquide au repos

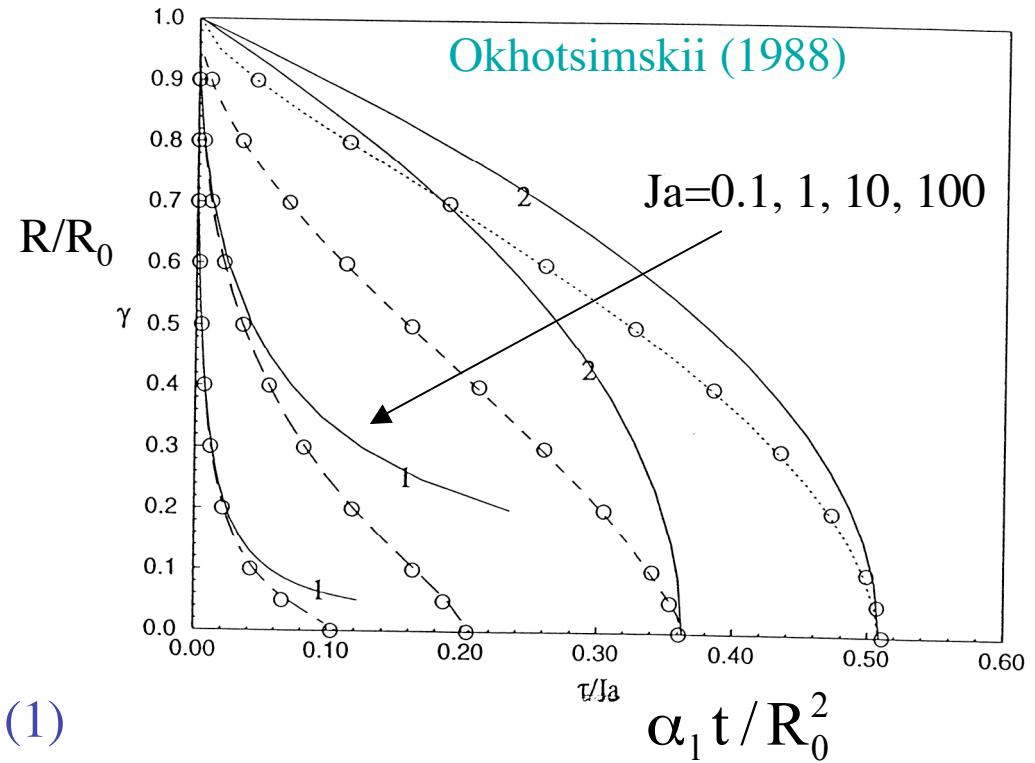


Solution analytique Ja grand :  
(Florschuetz et Chao, 1965)

$$\frac{4Ja^2\alpha_1}{\pi R_0^2} t = \frac{2}{3} \frac{R_0}{R(t)} + \frac{1}{3} \left( \frac{R(t)}{R_0} \right)^2 - 1 \quad (1)$$

Solution quasi-statique : Ja très faible : Nu=2

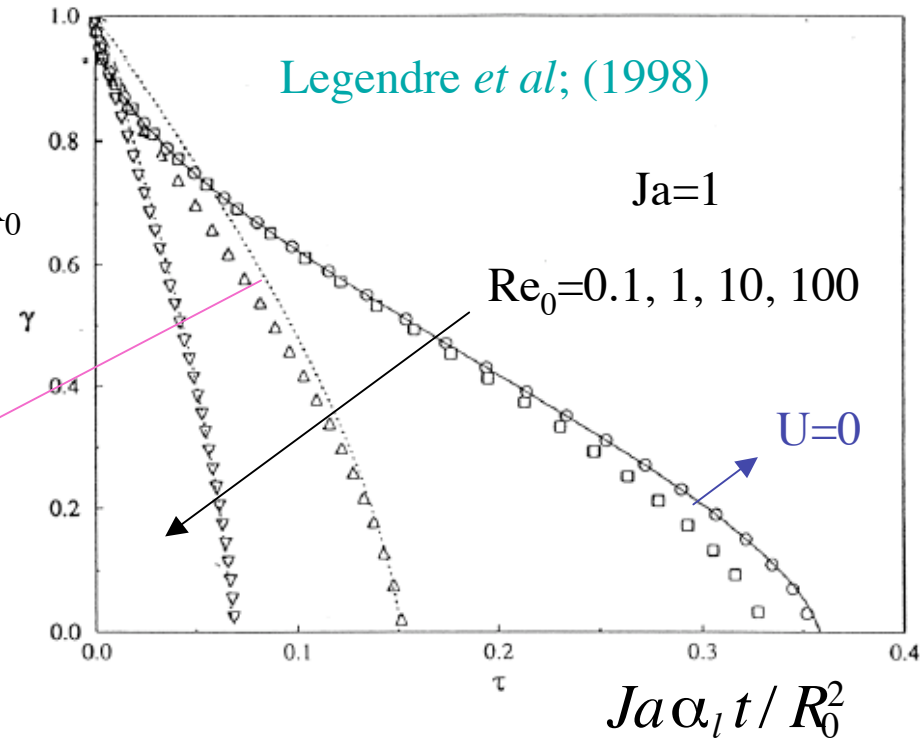
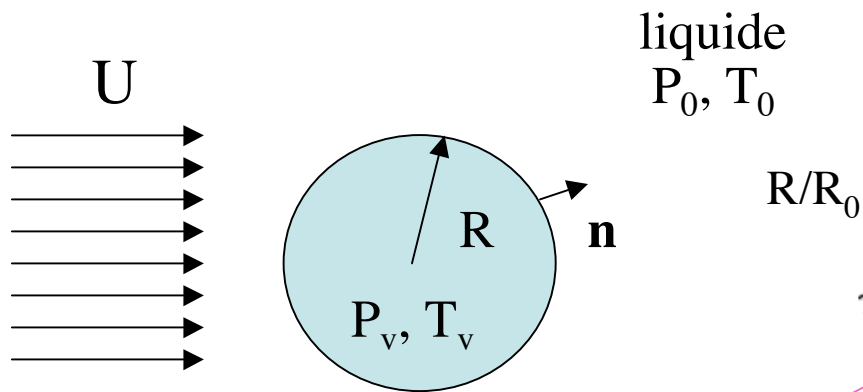
$$Nu(t) = -2 \frac{\rho_v h_{lv}}{k_l \Delta T} R \frac{dR}{dt} = 2 \implies R^2(t) = R_0^2 - 2Ja \cdot \alpha_1 t \quad (2)$$



Temps de collapse

$$t_c = \frac{R_0^2 \pi}{8Ja \cdot \alpha_1} \left( \left( \frac{\pi}{4} \right)^{3/2} + \sqrt{Ja} \right)^{-2/3}$$

# Condensation dans un écoulement uniforme



Etude expérimentale de Chen & Mayinger (1992)  $Re_0 > 300$

$$R(t) = R_0 \left[ 1 - 0,14 Re^{0,7} Pr^{1/2} \frac{\alpha_1}{R_0^2} t \right]^{0,9}$$

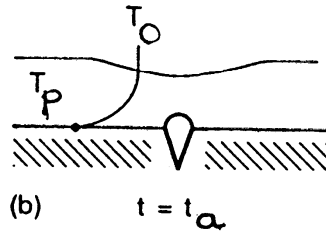
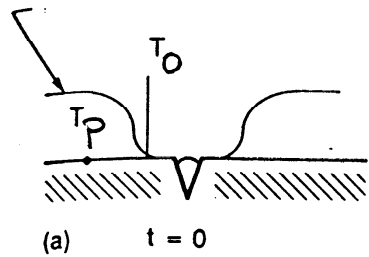
Temps de collapse

$$t_c(Re_0) = \frac{t_c(Re_0 = 0)}{\left( 1 + \left( 0,079 Ja^{-1/3} Re_0^{0,7} Pr^{1/2} \right)^2 \right)^{1/2}}$$

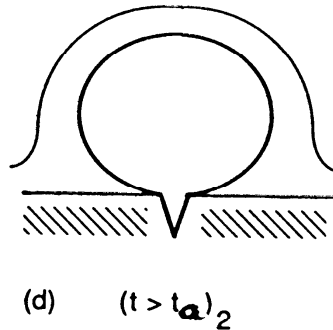
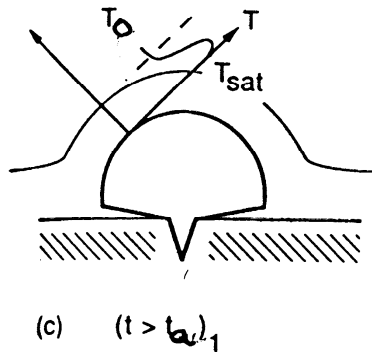
## Chapitre 4 Dynamique et transfert à l'échelle d'une bulle

1. Ebullition ou condensation d'une bulle de vapeur en milieu infini
2. Croissance de bulles sur une paroi chauffée
3. Dynamique de bulles en croissance
4. Diamètres de bulles et fréquence de détachement

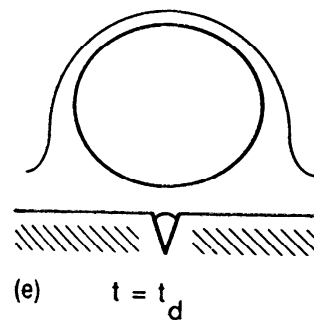
# Croissance de bulles sur des parois chauffées



Période d'attente



Période de croissance



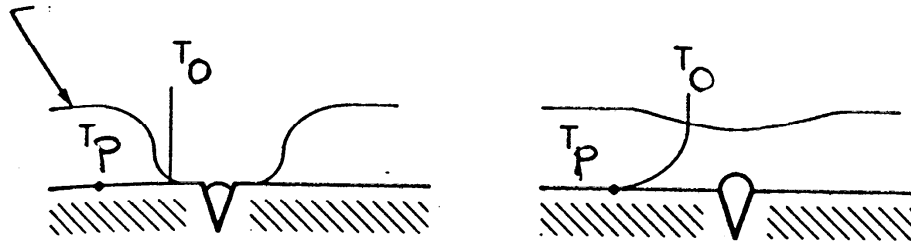
Différents modèles de croissance de bulle :

- par vaporisation sur toute la surface
- par vaporisation de la micro-couche de liquide sous la bulle
- par vaporisation mixte



# Croissance de bulles sur des parois chauffées

## Modèle de Mikic et Rohsenow (1969)



Période d'attente

$$T_1(0, -t_a) = T_0$$

$$-t_a < t < 0$$

$$T_1(0, t) = T_p$$

Période de croissance

$$t > 0$$

$$T_1(0, t) = T_{\text{sat}}(P_0)$$

$$\frac{\partial T_1}{\partial t} = \alpha_1 \frac{\partial^2 T_1}{\partial y^2}$$

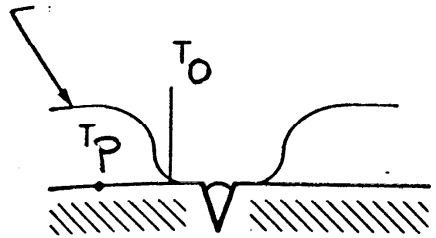
$$T_1(y, t) = T_0 + \underbrace{(T_p - T_0) \operatorname{erfc}\left[\frac{y}{2\sqrt{\alpha_1(t + t_a)}}\right]}_{\text{Phase d'attente}} - \underbrace{(T_p - T_{\text{sat}}) \operatorname{erfc}\left[\frac{y}{2\sqrt{\alpha_1 t}}\right]}_{\text{Phase de croissance}}$$

$$\operatorname{erfc}(x) = 1 - \operatorname{erf}(x) \quad \text{et} \quad \operatorname{erf}(x) = \frac{2}{\sqrt{\pi}} \int_0^x e^{-u^2} du$$

$$\frac{\partial}{\partial x} \operatorname{erf}(x) = \frac{2}{\sqrt{\pi}} e^{-x^2} \quad \frac{\partial^2}{\partial x^2} \operatorname{erf}(x) = -\frac{4}{\sqrt{\pi}} x e^{-x^2}$$

# Croissance de bulles sur des parois chauffées

## Modèle de Mikic et Rohsenow (1969)

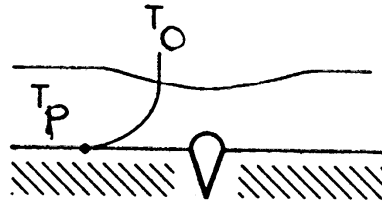


Période d'attente

$$T_1(0, -t_a) = T_0$$

$$-t_a < t < 0$$

$$T_1(0, t) = T_p$$



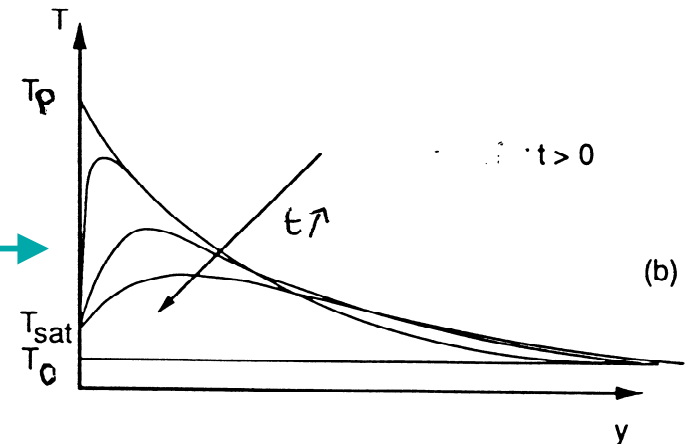
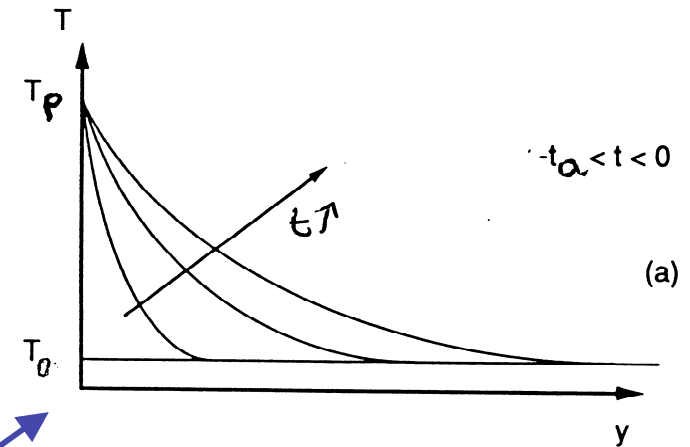
Période de croissance

$$t > 0$$

$$T_1(0, t) = T_{\text{sat}}(P_0)$$

$$T_1(y, t) = T_0 + (T_p - T_0) \operatorname{erfc} \left[ \frac{y}{2\sqrt{\alpha_1(t + t_a)}} \right]$$

$$- (T_p - T_{\text{sat}}) \operatorname{erfc} \left[ \frac{y}{2\sqrt{\alpha_1 t}} \right]$$



# Croissance de bulles sur des parois chauffées

## Modèle de Mikic et Rohsenow (1969)

Croissance d'une bulle sphérique sur une paroi chauffée par vaporisation du liquide sur toute la surface de la bulle

Equation de conservation de l'énergie à l'interface

$$\rho_v h_{lv} \frac{dR}{dt} = \frac{1}{4\pi R^2} \int_S k_1 \left( \frac{\partial T_1}{\partial n} \right) \cdot \mathbf{n} dS = k_1 \sqrt{3} \left( \frac{\partial T_1}{\partial y} \right)_{y=0} = k_1 \sqrt{3} \left[ \frac{T_p - T_{sat}}{\sqrt{\pi \alpha_1 t}} - \frac{T_p - T_0}{\sqrt{\pi \alpha_1 (t + t_a)}} \right]$$

$$R(t) = \frac{2Ja\sqrt{3\pi\alpha_1 t}}{\pi} \left\{ 1 - \frac{T_p - T_0}{T_p - T_{sat}} \left[ \left( 1 + \frac{t_a}{t} \right)^{1/2} - \left( \frac{t_a}{t} \right)^{1/2} \right] \right\} \quad ; \quad Ja = \frac{\rho_l C_{pl} (T_p - T_{sat}(P_0))}{\rho_v h_{lv}}$$

Temps d'attente  $t_a$  :

$$T_1(r_c, t) = T_0 + (T_p - T_0) \operatorname{erfc} \left[ \frac{r_c}{2\sqrt{\alpha_1 t_a}} \right] > T_{sat}(P_0) + 2\sigma T_{sat}(P_0) / (\rho_v h_{lv} r_c)$$

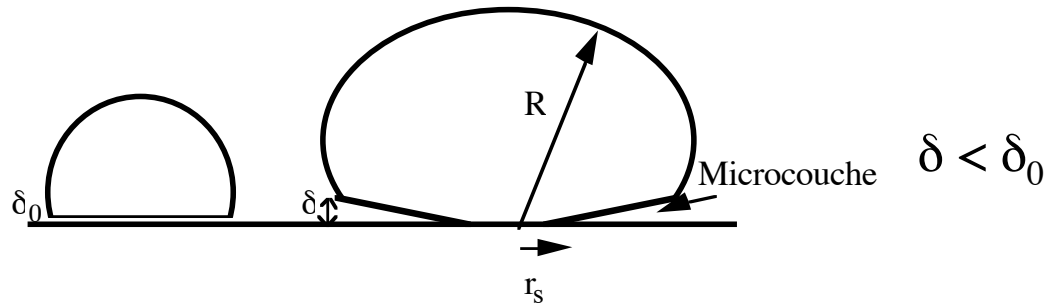
# Croissance de bulles sur les parois chauffées

Modèles par vaporisation de la microcouche de liquide : **Cooper et Lloyd (1969)**  
 et **Van Stralen *et al.* (1975)**

$$R = C_1 t^n$$

$$\delta_0(r) = C_2 \sqrt{v_1 t_c}$$

$$t_c = (r/C_1)^{(1/n)}$$



$$\rho_1 h_{lv} \frac{d\delta}{dt} = -k_1 \frac{T_p - T_{sat}}{\delta} \quad \text{soit} \quad \delta_0^2 - \delta^2 = 2k_1 \frac{T_p - T_{sat}}{\rho_1 h_{lv}} (t - t_c)$$

Masse de liquide évaporée

$$\rho_1 \left\{ \int_0^{r_s} \delta_0 2\pi r dr + \int_{r_s}^R (\delta_0 - \delta) 2\pi r dr \right\} = \rho_v \frac{2}{3} \pi R^3 \quad \longrightarrow \quad \begin{cases} R = C_1 \sqrt{t} = \frac{2,5}{Pr^{1/2}} Ja \sqrt{\alpha_1 t} \\ \text{pour } k_p \gg k_1 \end{cases}$$

Relations générales de la forme

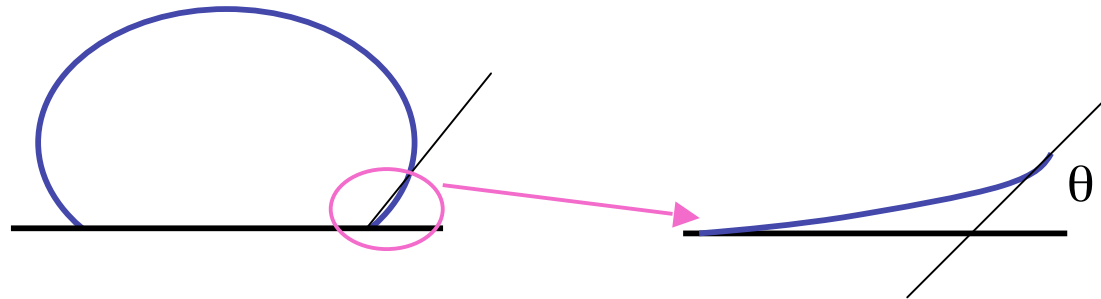
$$R(t) = f\left(Pr, \frac{k_1}{k_p}, \frac{\alpha_1}{\alpha_p}\right) Ja \sqrt{\alpha_1 t}$$

Fort couplage entre l'évaporation de la microcouche et la conduction dans la paroi

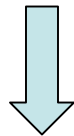
$$\text{Si } Fo = \alpha_p t_c / e_p^2 \ll 1 \quad T_p \approx \text{cte}$$

# Vers la simulation directe de l'ébullition

Résolution d'un problème à deux échelles : Dhir, (2002), Stephan, (2002)



Echelle macroscopique  
Hydrodynamique et transferts  
thermiques et massiques  
autour de la bulle



Raccordement des 2 solutions

Echelle microscopique

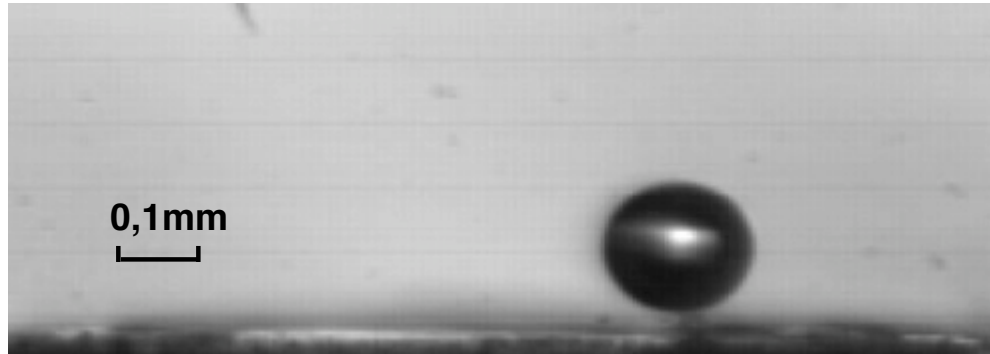
Evaporation de la microcouche  
de liquide - couplage avec la  
résolution du champ de  
température dans le solide  
(Mathieu et al., 2002)



## Chapitre 4 Dynamique et transfert à l'échelle d'une bulle

1. Ebullition ou condensation d'une bulle de vapeur en milieu infini
2. Croissance de bulles sur une paroi chauffée
3. Dynamique de bulles en croissance
4. Diamètres de bulles et fréquence de détachement

# Dynamique de bulles en croissance



Liquide au repos

$$u_L = 0$$

$$\Delta T = T_p - T_{\text{sat}} = 10,9 \text{ K}$$

Temps de croissance = 8 ms

Visulaisation rapides (2000 i/s)

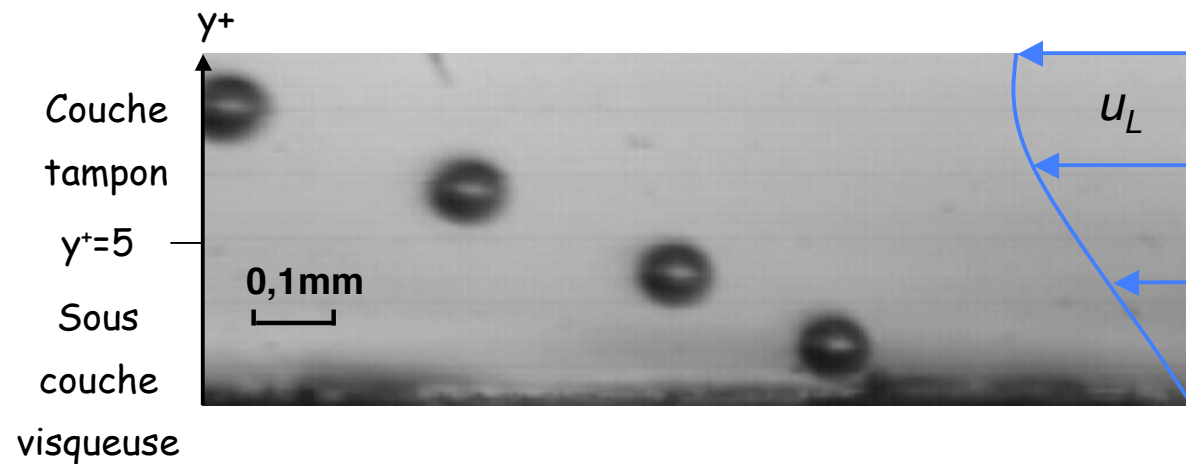
Thèse IMFT G. Duhar, (2003)

Écoulement turbulent

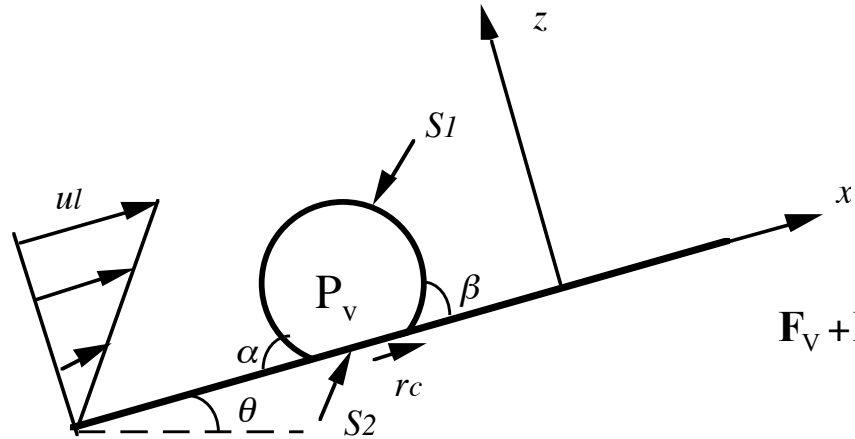
$$u_L = 0,11 \text{ m/s}$$

$$\Delta T = T_w - T_{\text{sat}} = 10,4 \text{ K}$$

Temps de croissance = 5 ms



# Dynamique de bulles en croissance



Thorncroft *et al*, (2001)

$$\mathbf{F}_V + \mathbf{F}_C - \int_{S_1} (P_1 - \rho_1 g z) \mathbf{n} dS - \int_{S_2} P_v \mathbf{n} dS + \int_{S_1} \boldsymbol{\tau} \cdot \mathbf{n} dS = 0$$

$$\mathbf{F}_V + \mathbf{F}_C - \underbrace{\int_{S_1} (P_1 - P_c) \mathbf{n} dS + \int_{S_1} \boldsymbol{\tau} \cdot \mathbf{n} dS}_{\text{Forces hydrodynamiques}} - \int_{S_1 + S_2} (P_c - \rho_1 g z) \mathbf{n} dS + \int_{S_2} (P_c - P_v) \mathbf{n} dS = 0$$

Forces hydrodynamiques

$$\mathbf{F}_A = -\rho_1 V \mathbf{g}$$

$F_{PC}$  (négligeable)

Force capillaire

$$\mathbf{F}_C = 2 \int_0^\pi \sigma r_c \mathbf{t}(\Phi) d\Phi = \mathbf{F}_C(\alpha, \beta)$$

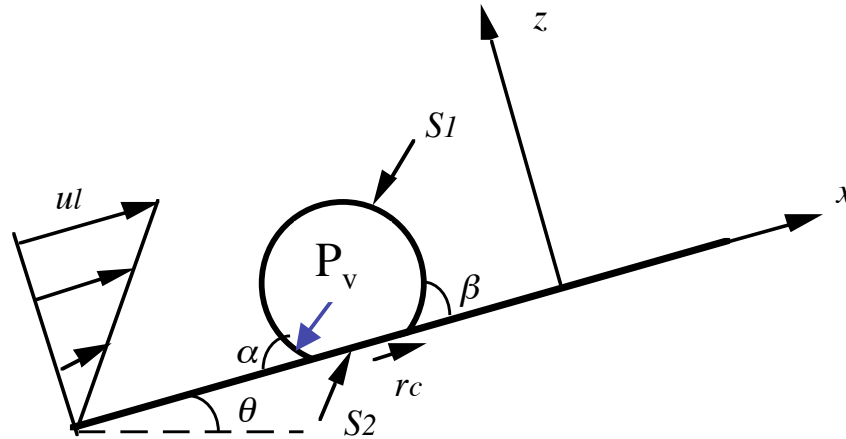
Force d'inertie du liquide (masse ajoutée)

Force de traînée + (effets d'histoire)

Force de portance (faible)



## Dynamique de bulles en croissance



Force de masse ajoutée en écoulement permanent de liquide, s'oppose au mouvement instationnaire de la bulle

$$\mathbf{F}_I = -\rho_l V C_{MA} \frac{d\mathbf{u}_v}{dt} + \rho_l C_{MA} \frac{dV}{dt} (\mathbf{u}_v - \mathbf{u}_l)$$

$C_{MA}=0.5$  en milieu infini

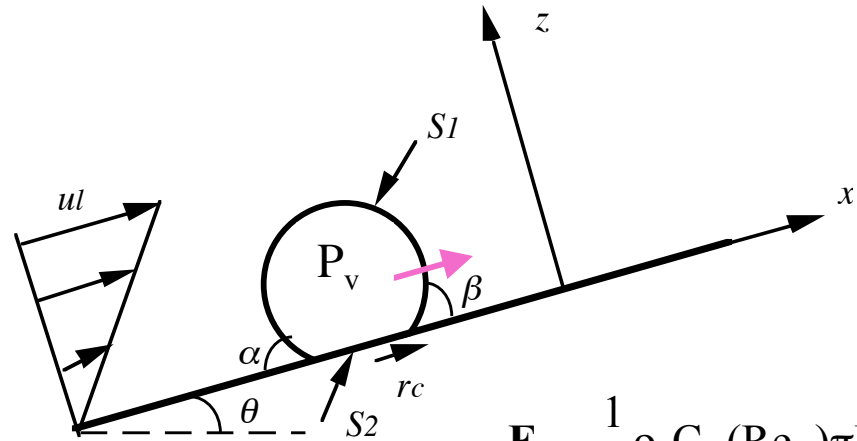
En proche paroi, calcul de l'écoulement potentiel (extrapolation) (Duhar, 2003)

$$\mathbf{F}_I = -\rho_l \frac{d}{dt} \left[ \frac{19}{32} V (\mathbf{u}_g - \mathbf{u}_l) \right] \mathbf{e}_x - \rho_l \frac{d}{dt} \left[ \frac{11}{16} V v_g \right] \mathbf{e}_z + \frac{3}{32} \rho_l \frac{d^2}{dt^2} (RV) \mathbf{e}_z$$

Bulle hémisphérique posée sur une paroi (Klausner et al., 1993)

$$\mathbf{F}_I = -\rho_l \pi R^2 \left( R \ddot{R} + C_s \frac{3}{2} \dot{R}^2 \right)$$

# Dynamique de bulles en croissance



Force de traînée, exercée par l'écoulement de liquide

$$\mathbf{F}_T = \frac{1}{2} \rho_l C_D (\text{Re}_B) \pi R^2 |\mathbf{u}_l - \mathbf{u}_v| (\mathbf{u}_l - \mathbf{u}_v) \quad \text{avec} \quad \text{Re}_B = \frac{2R |\mathbf{u}_l - \mathbf{u}_v|}{\nu_l}$$

Connu en milieu infini avec  $R = \text{cte}$

$$C_D = \frac{16}{\text{Re}_B} \left\{ 1 + \left[ \frac{8}{\text{Re}_B} + \frac{1}{2} (1 + 3,315 \text{Re}_B^{-0,5}) \right]^{-1} \right\}$$

Inconnu pour une bulle sur une paroi  $\forall \text{Re}_B$

Écoulement potentiel

En ébullition

$$C_D = C_{DS} + C_H$$

$$\mathbf{F}_T = -12\pi\mu_l R v_g \frac{5}{4} \mathbf{e}_z - 12\pi\mu_l R (u_l - u_g) \frac{9}{8} \mathbf{e}_x$$

Quelques données expérimentales dans la littérature (Winterton, 1972)  $C_D = 18.7 \text{Re}_B^{-0.68}$

## Chapitre 4 Dynamique et transfert à l'échelle d'une bulle

1. Ebullition ou condensation d'une bulle de vapeur en milieu infini
2. Croissance de bulles sur une paroi chauffée
3. Dynamique de bulles en croissance
4. Diamètres de bulles et fréquence de détachement

## Diamètres et fréquence de détachement

### Paroi horizontale sans écoulement

$$\mathbf{F}_A = \rho_1 V g \mathbf{e}_z$$

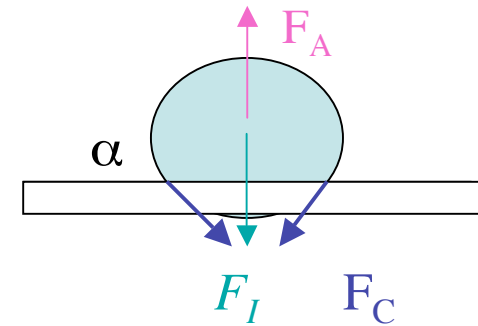
$$\mathbf{F}_C = -2\pi r_c \sigma \sin\alpha \mathbf{e}_z$$

$$\mathbf{F}_I = -\rho_1 \frac{d}{dt} \left[ \frac{11}{16} V v_g \right] \mathbf{e}_z + \frac{3}{32} \rho_1 \frac{d^2}{dt^2} (RV) \mathbf{e}_z$$

$$F_I + F_A + F_C = 0 \text{ pendant la croissance}$$

Si  $F_I$  est faible pendant la croissance  $F_A + F_C = 0$

au détachement lorsque  $F_I$  n'est plus négligeable  $F_A + F_C > 0 (= -F_I)$



Rayon au détachement avec  $r_c = R \sin\alpha$        $R_d = \sin\alpha \sqrt{\frac{3\sigma}{2\rho_1 g}}$

# Diamètres et fréquence de détachement

Paroi horizontale sans écoulement

Modèle de Zeng et al. (1993)

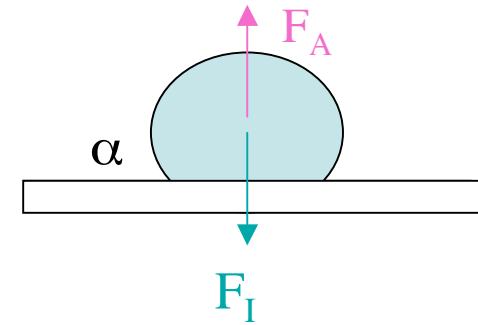
Croissance rapide de petites bulles en paroi

$$\mathbf{F}_A = \rho_l V g \mathbf{e}_z \quad F_I = -\rho_l \pi R^2 \left( R \ddot{R} + C_s \frac{3}{2} \dot{R}^2 \right)$$

Loi de croissance de bulles  $R=Kt^n$

Critère de détachement  $F_I + F_A = 0$

$$R_d = \left[ \frac{3}{4} \frac{K^{2/n}}{g} \left( n(n-1) + \frac{3}{2} C_s n^2 \right) \right]^{n/(2-n)}$$



## Diamètres et fréquence de détachement

Paroi horizontale avec écoulement

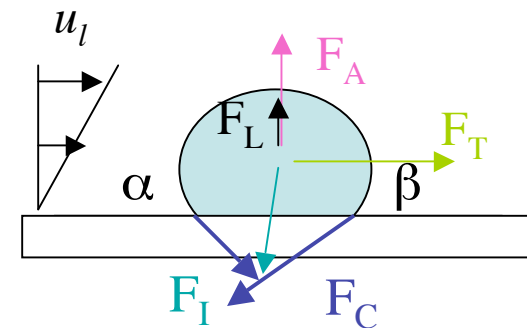
$$\mathbf{F}_A = \rho_1 V g \mathbf{e}_z$$

$$\mathbf{F}_C(\alpha, \beta) = F_{Cx} \mathbf{e}_x + F_{Cz} \mathbf{e}_z$$

$$\mathbf{F}_I = -\rho_1 \frac{d}{dt} \left[ \frac{19}{32} V (u_g - u_1) \right] \mathbf{e}_x - \rho_1 \frac{d}{dt} \left[ \frac{11}{16} V v_g \right] \mathbf{e}_z + \frac{3}{32} \rho_1 \frac{d^2}{dt^2} (RV) \mathbf{e}_z$$

$$F_{Tx} = 1/2 \rho_1 C_D \pi R^2 U^2$$

$$F_{Lz} = 1/2 \rho_1 C_L \pi R^2 U^2$$



Pendant la croissance généralement  $F_I$  est faible.

Le détachement se produit lorsque  $F_{Tx} + F_{Cx} + F_{Ix} > 0$  glissement sur la paroi

$F_{Az} + F_{Cz} + F_{Iz} + F_{Lz} > 0$  détachement de la paroi

# Diamètres et fréquence de détachement

Paroi horizontale avec écoulement

Modèle de [Winterton \(1972\)](#)

Détachement parallèle à la paroi

Force capillaire :

$$F_{Cx} = -\frac{\pi}{2} \sigma r_s (\cos \theta_r - \cos \theta_a) = -\frac{\pi}{2} \sigma R \sin \theta (\cos \theta_r - \cos \theta_a) = -\frac{\pi}{2} \sigma R F(\theta)$$

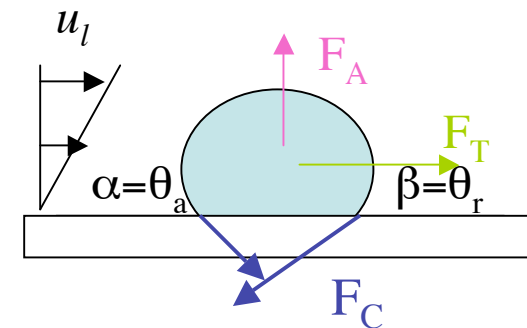
Force de trainée :  $F_{Tx} = 1/2 \rho_1 C_D \pi R^2 U^2$

Détachement lorsque :  $\frac{1}{2} C_D \rho_1 U^2 R^2 \pi > \frac{\pi}{2} \sigma R F(\theta)$

$$C_D = 18.7 \text{Re}_B^{-0.68}$$

$$\text{Re}_B = U 2R / \nu$$

$$\frac{1}{2} C_D \rho_1 U^2 R^2 \pi > \frac{\pi}{2} \sigma R \sin \theta$$



# Diamètres et fréquence de détachement

De nombreuses corrélations existent dans la littérature basée sur un nombre de Bond

$$Bo = \frac{g(\rho_l - \rho_v)d_d^2}{\sigma}$$

Fréquence de détachement :

Corrélations	$f^n d_d = \text{cste}$	$n = 2$	croissance inertielle
		$n = 1/2$	croissance diffusive

Exemple : eau bouillante à pression atmosphérique

$$f^2 d_d = \frac{4}{3} \frac{g(\rho_l - \rho_v)}{C\rho_l} \quad C \approx 1$$



# Diamètres et fréquence de détachement

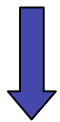
Fréquence de détachement :

$$\tau = \frac{1}{f} = t_a + t_{2R(t)=d_d}$$

$$t_a = \frac{1}{4\alpha_1} \frac{r_c^2}{\left( \operatorname{erfc}^{-1} \left[ \frac{T_{\text{sat}} - T_0}{T_p - T_0} + \frac{2\sigma T_{\text{sat}}}{(T_p - T_0)r_c \rho_v h_{lv}} \right] \right)^2}$$

$t_c$  connu par les lois de croissance de bulle et les diamètres au détachement

Modèle de Mikic et Rohsenow



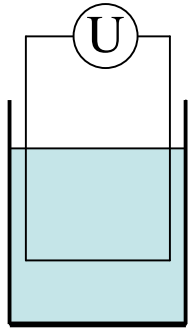
$$f^{1/2} d_d = \frac{d_d}{\sqrt{t_c + t_a}} = \frac{4}{\pi} \text{Ja} \sqrt{3\pi\alpha_1} \left[ \left( \frac{t_a}{t_c + t_a} \right)^{1/2} + \left( 1 - \frac{t_a}{t_c + t_a} \right)^{1/2} - 1 \right] \approx 0.83 \text{Ja} \sqrt{\pi\alpha_1}$$

$$0,15 < \frac{t_a}{t_a + t_c} < 0,8$$

## Chapitre 5 Transferts en ébullition libre

1. Les différents régimes de l'Ébullition libre
2. Régime de convection naturelle
3. Ébullition nucléée
4. Crise d'ébullition - Flux critique
5. Ébullition en film
6. Flux de chaleur minimum
7. L'ébullition de transition
8. Quelques effets paramétriques sur l'ébullition libre

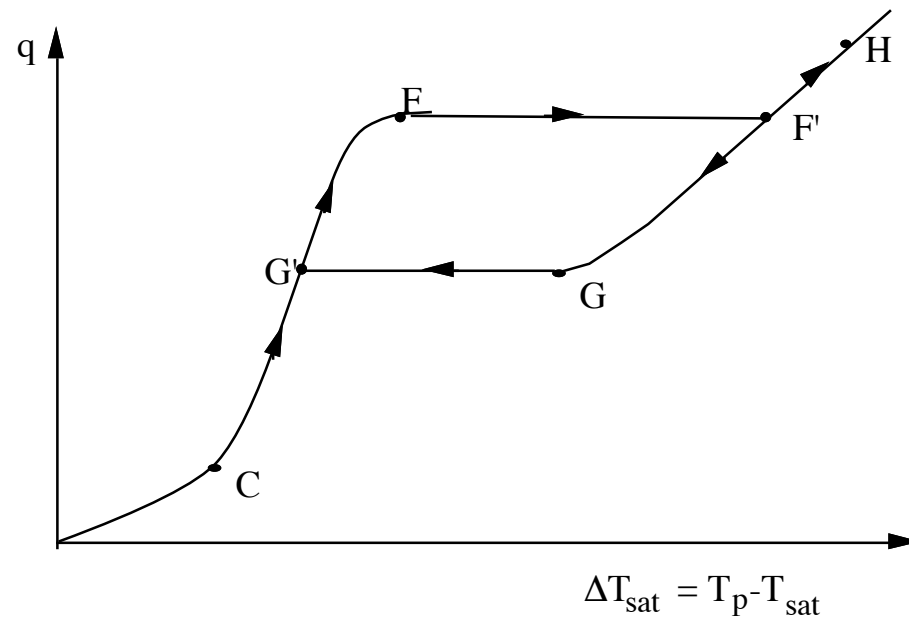
# Expérience de Nukiyama



Fil chauffé par effet Joule : Flux imposé

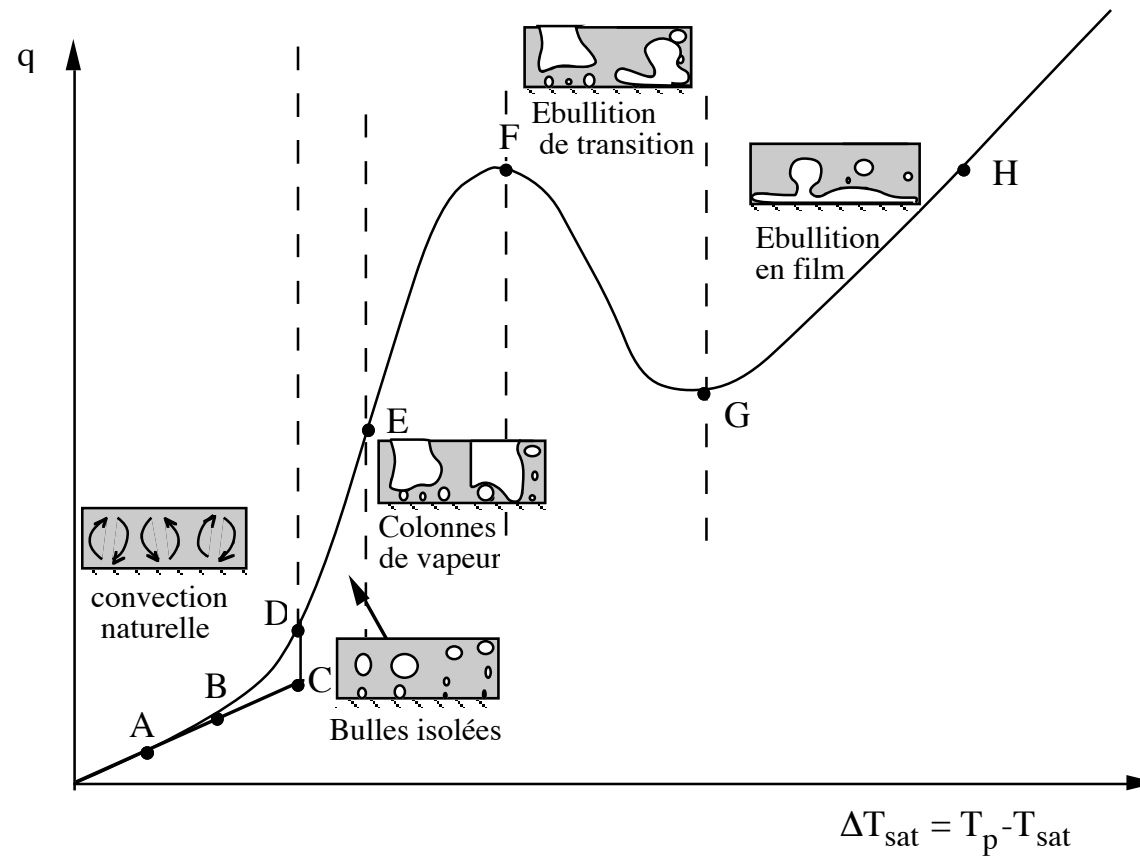
$$q = \frac{UI}{\pi dl}$$

Détermination de  $T_p$  à partir de la mesure de la résistance du fil  $U/I$



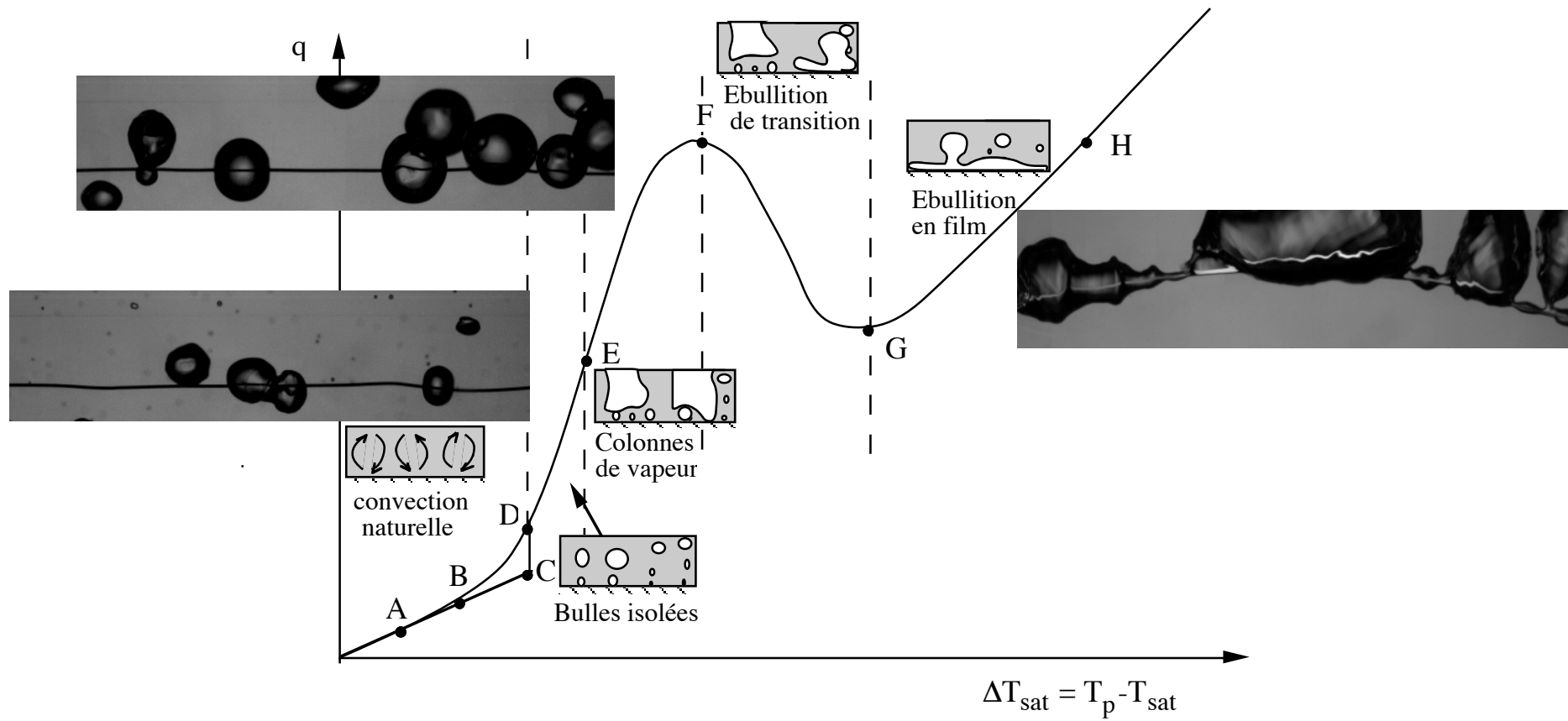
# Expérience de Drew et Müller

Chauffage à température imposée d'une plaque plane



# Expérience de Drew et Müller (1934)

Chauffage à température imposée d'une plaque plane



## Transfert thermique en convection naturelle

$$q = h(T_p - T_{\text{sat}})$$

$$\text{Nu} = \frac{hD}{k_l} = \frac{qD}{k_l(T_p - T_{\text{sat}})} = C \cdot \text{Ra}^{1/n}$$

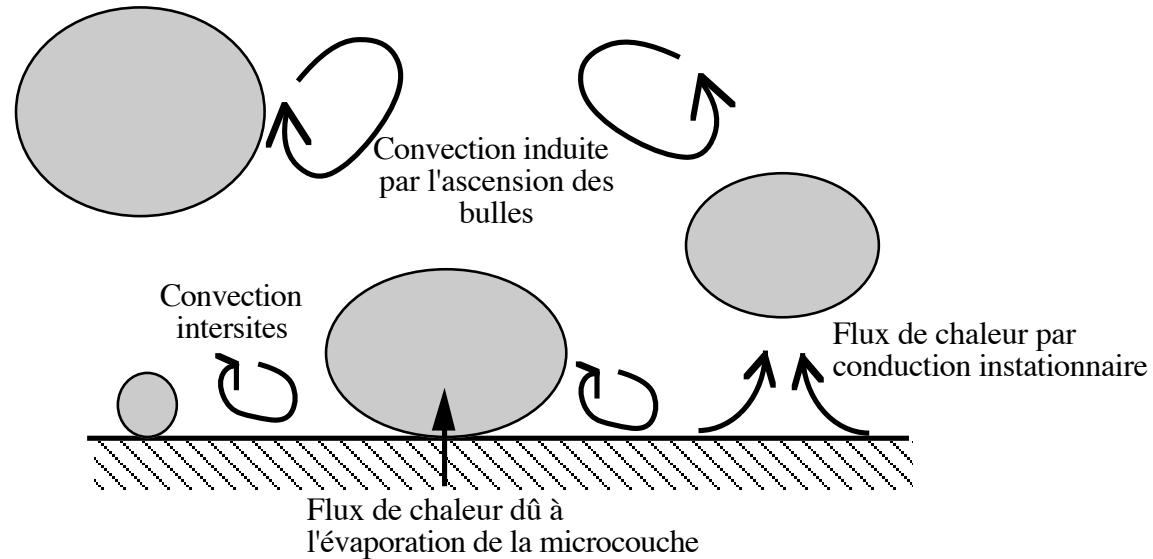
$10^4 < \text{Ra} < 10^7$	$C = 0.54$	$n = 4$
$10^7 < \text{Ra} < 10^{11}$	$C = 0.15$	$n = 3$

$$\text{Ra} = \frac{g\beta(T_p - T_{\text{sat}})D^3}{\nu_l \alpha_l}$$

## Déclenchement de l'ébullition nucléée

Critère de Hsu

## Transfert thermique en ébullition nucléée

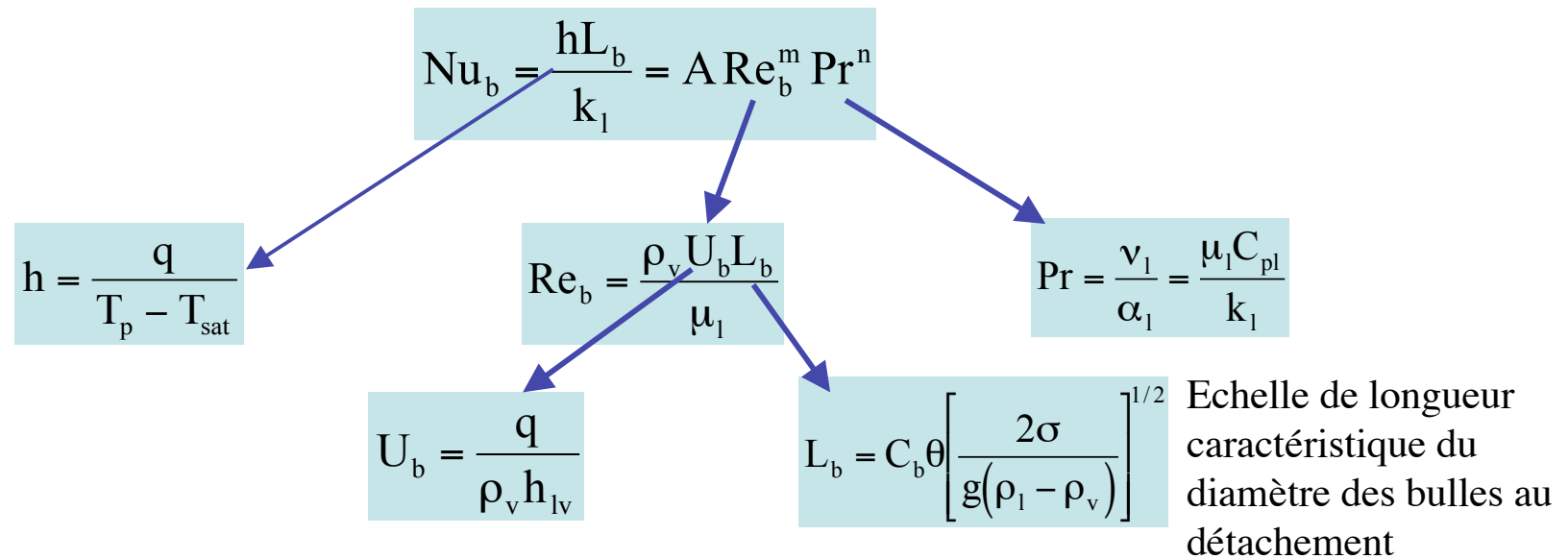


Les modèles mettent en jeu les différents modes de transfert :

- Modèle de Rohsenow
- Modèle de Han et Griffith
- Modèle de Judd et Hwang
- Corrélation de Stephan Abdelsalam

## Modèle de Rohsenow

Mode de transfert par convection dans le sillage des bulles :  
analogie avec la convection forcée



$$q = \mu_1 h_{lv} \left[ \frac{g(\rho_l - \rho_v)}{\sigma} \right]^{1/2} \left[ \frac{C_p (T_p - T_{sat}(P_0))}{C_{sf} Pr^s h_{lv}} \right]^{1/r} \approx 3$$

$$C_{sf} = 2^{1/2} C_b \theta / A, r=1-m, s=1-n$$

$s=1,7$  (ou 1 pour l'eau)

Constante spécifique qui dépend  
du couple solide/fluide



## Modèle de Han et Griffith

Mode de transfert dû à la convection naturelle entre les sites de nucléation et à la conduction instationnaire après le départ d'une bulle.

- Densité de flux de chaleur par conduction après le départ d'une bulle

$$q' = -k_l \left( \frac{\partial T}{\partial y} \right)_{y=0} = \frac{k_l (T_p - T_{\text{sat}}(P_0))}{\sqrt{\pi \alpha_l t}}$$

- Flux moyenné sur une période de formation d'une bulle

$$\bar{q}' = f \int_0^{1/f} q' dt = f \int_0^{1/f} \frac{k_l (T_p - T_{\text{sat}}(P_0))}{\sqrt{\pi \alpha_l t}} dt = \left( \frac{4k_l \rho_l C_p}{\pi} \right)^{1/2} (T_p - T_{\text{sat}}(P_0)) f^{1/2}$$

- Flux moyenné sur la surface

$$q = \frac{\pi d_d^2}{4} n_c \bar{q}' = 2 \sqrt{\pi k_l \rho_l C_p} \sqrt{f} d_d^2 n_c (T_p - T_{\text{sat}}(P_0))$$

Partie de la surface concernée

Difficulté : connaître  $d_d$ ,  $n_c$ ,  $f$

# Modèle of Judd et Hwang

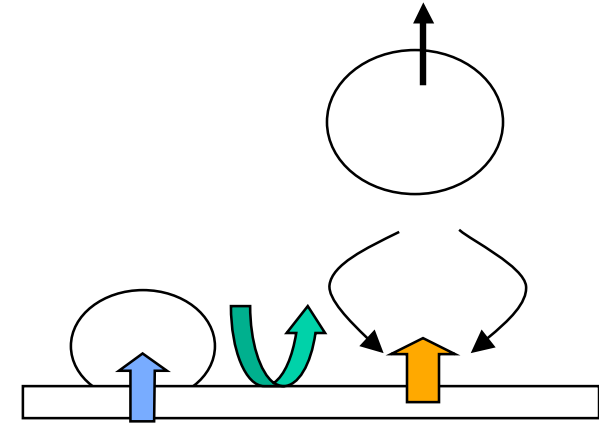
3 modes de transfert envisagés

$$q = q_E + q_{CN} + q_{CI}$$

$$q_E = \rho_l h_{lv} V_m n_c f = \rho_v h_{lv} \frac{4}{3} \pi R_d^3 n_c f$$

$$q_{CN} = f(Ra, Pr) A_{CN}$$
$$A_{CN} = \left[ 1 - K \pi R_d^2 n_c \right]$$

$$q_{CI} = K \pi R_d^2 n_c 2 \sqrt{\rho_l C_{p_l} k_l f / \pi} (T_p - T_0)$$



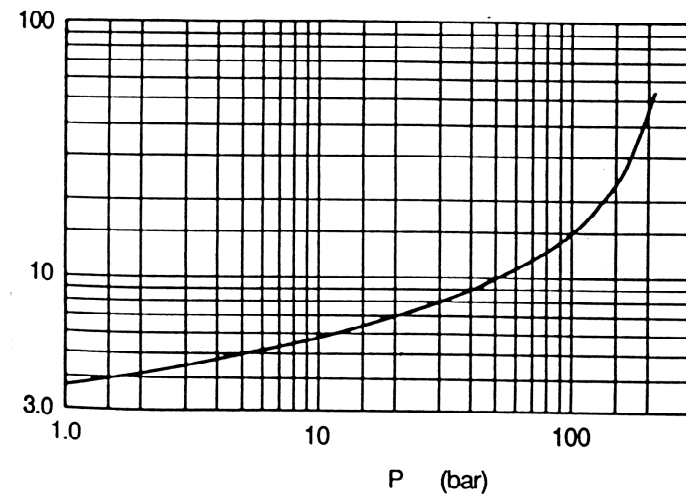
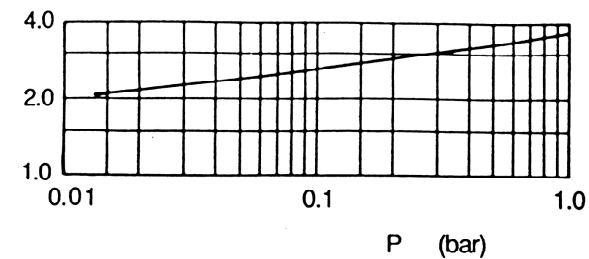
Paramètres à déterminer pour utiliser le modèle :  $R_d$ ,  $f$ ,  $n_c$ ,  $K$

## Corrélation de Stephan et Abdelsalam

Lissage optimal sur plus de 5000 données expérimentales

$$q = \left[ C(T_p - T_{\text{sat}}(P_0)) \right]^{1/n}$$

Fluide	n	C
Eau	0.327	Figures
Hydrocarbures	0.33	$C \approx 3(P_0)^{1/4}$
Réfrigérants	0.255	$C \approx (P_0)^{1/2}$



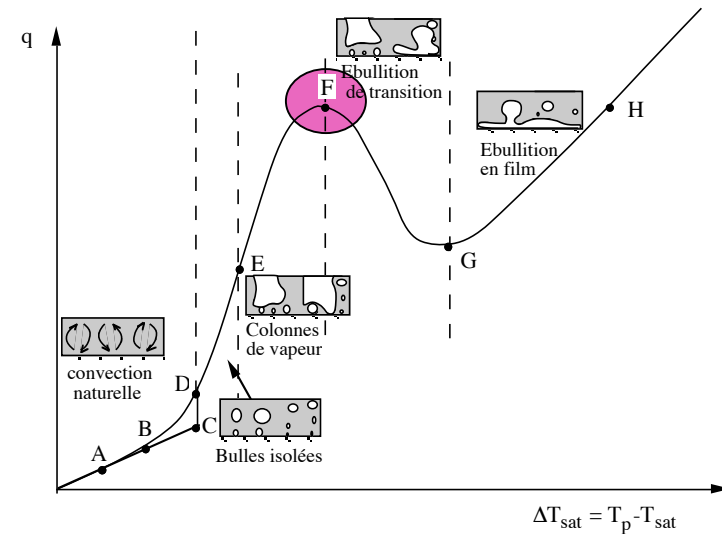
## Conclusion sur les modèles d'ébullition nucléée

- Approches variées
- Difficultés pour la détermination de  $n_c$ ,  $f$ ,  $R_d$
- Accord correct avec l'expérience sur l'estimation des surchauffes  $\Delta T_{\text{sat}}$ , résultats moins précis sur la prédiction de la densité de flux de chaleur  $q$

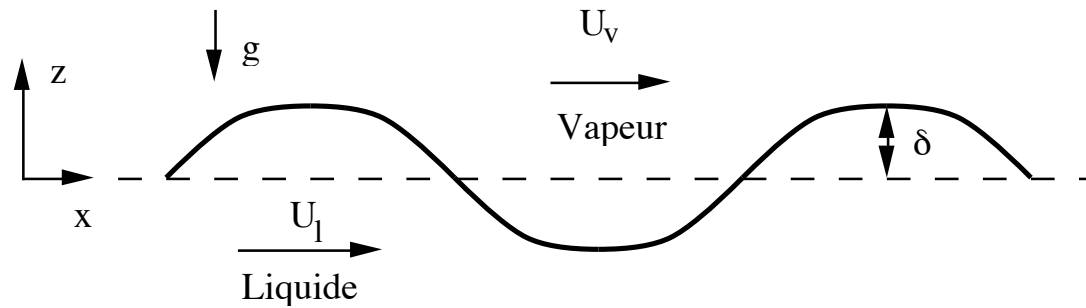
# Crise d'ébullition - prédiction du flux critique

Différents mécanismes sont avancés pour expliquer l'apparition du flux critique :

- Mécanismes d'instabilité hydrodynamique : (Modèle de Zuber)
- Modèle de disparition de la macrocouche de liquide formée à la base des champignons de vapeur (Haramura et Katto)
- Coalescence latérale de bulles sur la surface chauffée dans la macrocouche de liquide
- Formation de points chauds sur la surface au niveau desquels la température est si élevée que le phénomène de remouillage ne peut avoir lieu.



## Quelques notions sur les instabilités hydrodynamiques



Instabilités de 2 types : Rayleigh-Taylor et Kelvin-Helmholtz  
Etude de stabilité linéaire monodimensionnelle.

$$\frac{\partial U}{\partial x} + \frac{\partial W}{\partial z} = 0$$

$$\rho \left( \frac{\partial U}{\partial t} + U \frac{\partial U}{\partial x} + W \frac{\partial U}{\partial z} \right) = - \frac{\partial P}{\partial x}$$

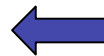
$$\rho \left( \frac{\partial W}{\partial t} + U \frac{\partial W}{\partial x} + W \frac{\partial W}{\partial z} \right) = - \frac{\partial P}{\partial z} - \rho g$$

Perturbation en t et x

$$U = \bar{U} + u' \quad \delta(x, t) = A e^{ikx + \omega t}$$

$$W = \bar{W} + w' \quad w'(x, z, t) = \hat{w}(z) e^{ikx + \omega t}$$

$$P = \bar{P} + p' \quad p'(x, z, t) = \hat{p}(z) e^{ikx + \omega t}$$



$\hat{p}(z)$  + relation de dispersion  $f(\omega, k)$

+ C.L. Interface : raccordement des vitesses + Loi de Laplace +  $W = \frac{\partial \delta}{\partial t} + U \frac{\partial \delta}{\partial x}$

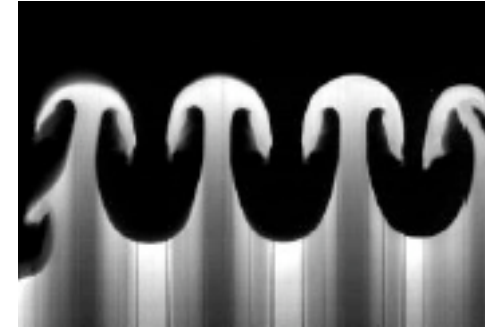
## Quelques notions sur les instabilités hydrodynamiques (suite)

Perturbation introduite

$$\delta(x, t) = Ae^{ikx + \omega t}$$

$$w'(x, z, t) = \hat{w}(z)e^{ikx + \omega t}$$

$$p'(x, z, t) = \hat{p}(z)e^{ikx + \omega t}$$



Relation de dispersion

$$\omega = \pm \frac{\left\{ k^2 \rho_1 \rho_v (\bar{U}_1 - \bar{U}_v)^2 - [\sigma k^3 + (\rho_1 - \rho_v) g k] (\rho_1 + \rho_v) \right\}^{1/2}}{(\rho_1 + \rho_v)} - \frac{ik(\rho_1 \bar{U}_1 + \rho_v \bar{U}_v)}{(\rho_1 + \rho_v)}$$

Si  $U_v = U_1 = 0$  et si le fluide lourd est au dessus  $\rightarrow$  Instabilité de Rayleigh-Taylor

$$\omega = \pm \left[ \frac{(\rho_1 - \rho_v) g k - \sigma k^3}{\rho_1 + \rho_v} \right]^{1/2} \approx \pm \left[ \frac{(\rho_1 - \rho_v) g k - \sigma k^3}{\rho_1} \right]^{1/2}$$

↓

Si  $\omega > 0$  et  $k < k_c = \left[ \frac{(\rho_1 - \rho_v) g}{\sigma} \right]^{1/2}$

$$k = \frac{2\pi}{\lambda}$$

Longueur d'onde la plus dangereuse :  $d\omega/dk=0$

$$k_{\max} = \left[ \frac{(\rho_1 - \rho_v) g}{3\sigma} \right]^{1/2} \rightarrow \lambda_D = 2\pi \left[ \frac{3\sigma}{(\rho_1 - \rho_v) g} \right]^{1/2} = \sqrt{3} \lambda_c$$

## Quelques notions sur les instabilités hydrodynamiques (suite)

### Relation de dispersion

$$\omega = \pm \frac{\left\{ k^2 \rho_1 \rho_v (\bar{U}_1 - \bar{U}_v)^2 - [\sigma k^3 + (\rho_1 - \rho_v) g k] (\rho_1 + \rho_v) \right\}^{1/2}}{(\rho_1 + \rho_v)} - \frac{ik(\rho_1 \bar{U}_1 + \rho_v \bar{U}_v)}{(\rho_1 + \rho_v)}$$

Si  $U_v$  et/ou  $U_1 \neq 0$  vagues sur l'interface

Si la partie réelle de  $\omega > 0$   $\rightarrow$  **Instabilité de Kelvin Helmholtz**



$$|\bar{U}_1 - \bar{U}_v| > \left\{ \frac{[\sigma k + (\rho_1 - \rho_v) g / k] (\rho_1 + \rho_v)}{\rho_1 \rho_v} \right\}^{1/2}$$

avec  $k < k_c = \left[ \frac{(\rho_1 - \rho_v) g}{\sigma} \right]^{1/2}$

Si la gravité n'intervient pas

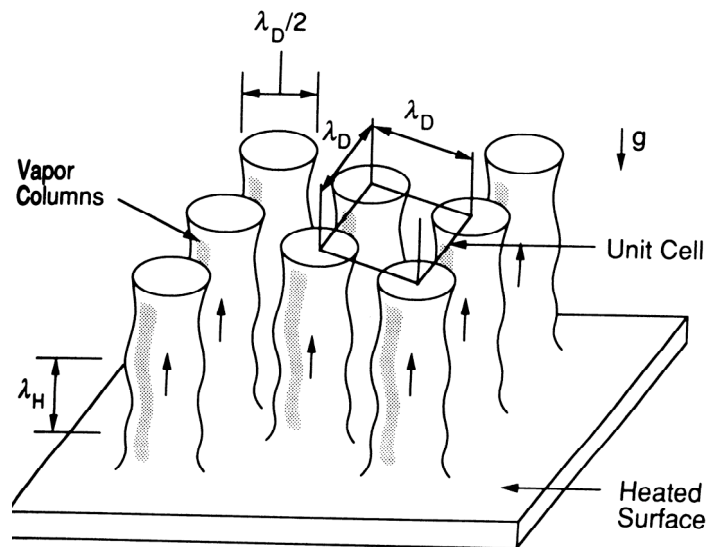
$$|\bar{U}_1 - \bar{U}_v| > \left[ \frac{\sigma k (\rho_1 + \rho_v)}{\rho_1 \rho_v} \right]^{1/2} \quad \text{pour } k = k_c$$

$$U_c = \left[ \frac{2(\rho_1 - \rho_v)}{\rho_1} \right]^{1/2} \left[ \frac{\sigma(\rho_1 - \rho_v) g}{\rho_v^2} \right]^{1/4}$$



## Modèle de Zuber et de Lienhard - Dhir

Modèle basé sur les instabilités hydrodynamiques



Hypothèses du modèle :

- plaque horizontale infinie
- colonnes vapeur ont une vitesse  $u_v$
- le liquide  $u_l$

- espace inter-colonnes:  $\lambda$
- diamètre des colonnes :  $\lambda/2$
- $\lambda$ , longueur d'onde de Taylor

Modèle à un paramètre

- Le flux critique est atteint lorsque l'interface est soumise à des instabilités de Kelvin Helmholtz de longueur d'onde  $\lambda_H$ .

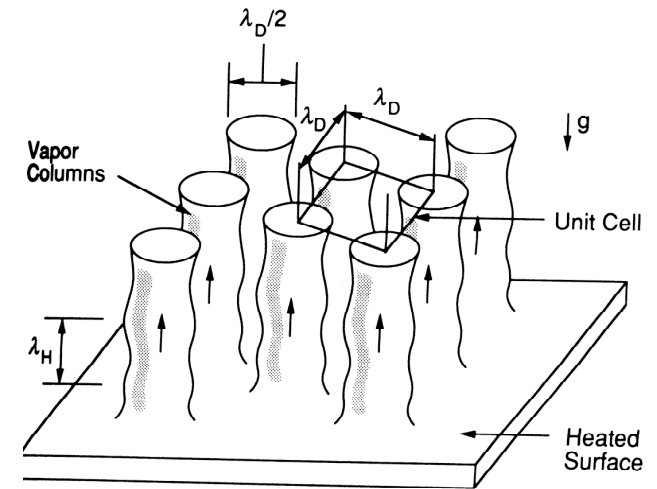
## Modèle de Zuber et de Lienhard - Dhir (suite)

La vitesse critique de la vapeur pour apparition des instabilités de KH

$$u_c = |u_l - u_v| = \left[ \frac{\sigma k (\rho_l + \rho_v)}{\rho_l \rho_v} \right]^{1/2} \approx \left[ \frac{2\pi\sigma}{\rho_v \lambda_H} \right]^{1/2}$$

$u_c \approx u_v$  est relié au débit de vapeur formé

$$u_c \approx u_v = \frac{q_{\max}}{\rho_v h_{lv}} \left( \frac{S_{\text{totale}}}{S_{\text{colonnes}}} \right) = \frac{q_{\max}}{\rho_v h_{lv}} \frac{\lambda^2}{\pi(\lambda/4)^2} = \frac{16}{\pi} \frac{q_{\max}}{\rho_v h_{lv}}$$



Zuber fait l'hypothèse que  $\lambda_H = \pi\lambda/2$  - La **longueur d'onde de Taylor** est telle que :

$$\lambda_c < \lambda < \lambda_D \quad \text{avec} \quad \lambda_c = 2\pi \left[ \frac{\sigma}{(\rho_l - \rho_v)g} \right]^{1/2} \quad \text{et} \quad \lambda_D = 2\pi \left[ \frac{3\sigma}{(\rho_l - \rho_v)g} \right]^{1/2}$$

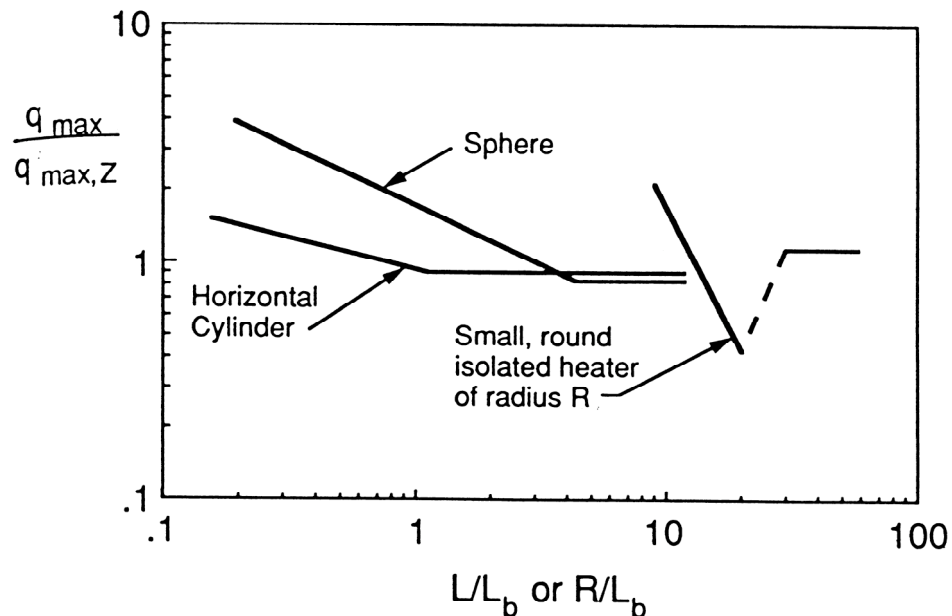
## Modèle de Zuber et de Lienhard - Dhir (suite)

A partir des expressions précédentes

$$0,118\rho_v h_{lv} \left[ \frac{\sigma(\rho_l - \rho_v)g}{\rho_v^2} \right]^{1/4} < q_{\max} < 0,157\rho_v h_{lv} \left[ \frac{\sigma(\rho_l - \rho_v)g}{\rho_v^2} \right]^{1/4}$$

Zuber propose que la constante = 0.131

Lienhard et Dhir proposent une constante = 0.149 avec  $\lambda_H = \lambda_D$



Influence de la taille de l'élément chauffant

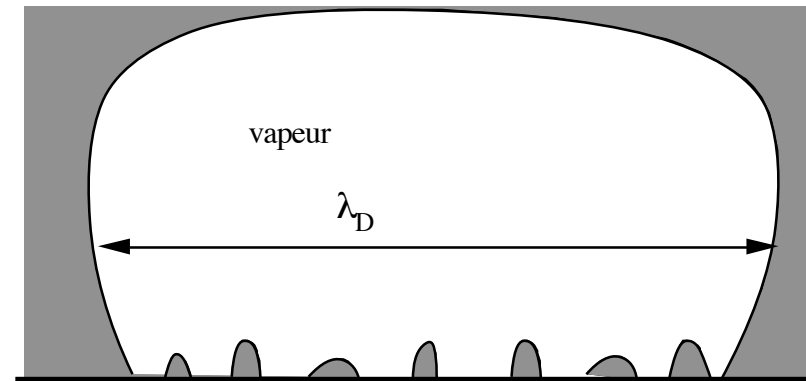
$$\frac{q_{\max}}{q_{\max,Z}} = f\left(\frac{L}{L_b}\right) \quad L_b = \sqrt{\frac{\sigma}{g(\rho_l - \rho_v)}}$$

$$q_{\max,Z} = 0.131\rho_v h_{lv} \left[ \frac{\sigma(\rho_l - \rho_v)g}{\rho_v^2} \right]^{1/4}$$

## Modèle de Hiramoto et Katto

Hypothèses du modèle:

- Bulle de vapeur de largeur  $\lambda_D$  alimentée par des jets et se détachant sous l'effet de la force d'Archimède
- Jets de vapeurs séparés par des zones liquide de faible épaisseur  $\lambda_H/4$
- Flux critique atteint lorsque tout le liquide s'évapore avant que la bulle ne se détache



$$q_{\max} = \left(1 - \frac{S_{\text{jet}}}{S_{\text{totale}}}\right) \frac{\lambda_H}{4} \frac{\rho_l h_{lv}}{\tau}$$

Volume de liquide/unité de surface

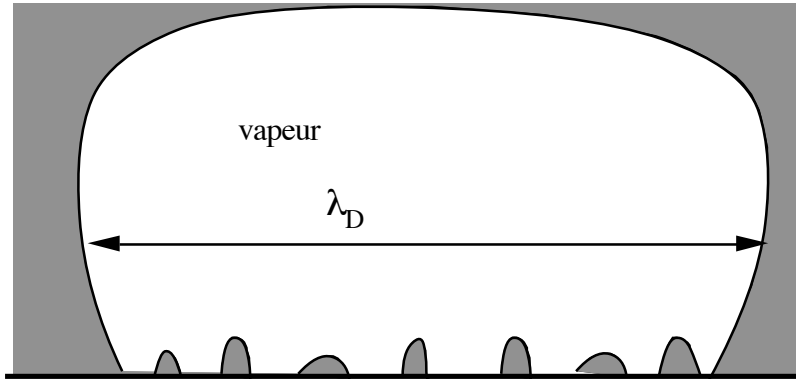
Période de détachement des poches de vapeur

$$\tau = \left(\frac{3}{4\pi}\right)^{1/5} \left[ \frac{4 \left(\frac{11}{16} \rho_l + \rho_v\right)}{g(\rho_l - \rho_v)} \right]^{3/5} \dot{V}^{1/5}$$

avec  $\dot{V} = \frac{\lambda_D^2 q_{\max}}{\rho_v h_{lv}}$

Taux de croissance  $V = \dot{V}t$

## Modèle de Hiramoto et Katto



$$q_{\max} = \left(1 - \frac{S_{\text{jet}}}{S_{\text{totale}}}\right) \frac{\lambda_H \rho_l h_{lv}}{4 \tau}$$

$$\tau = \left(\frac{3}{4\pi}\right)^{1/5} \left[ \frac{4 \left(\frac{11}{16} \rho_l + \rho_v\right)}{g(\rho_l - \rho_v)} \right]^{3/5} \left( \frac{\lambda_D^2 q_{\max}}{\rho_v h_{lv}} \right)^{1/5}$$

La longueur d'onde  $\lambda_H$  pour une interface cisailée par un écoulement de vapeur de vitesse  $u_c$  vaut :

$$\lambda_H = \frac{2\pi\sigma(\rho_l + \rho_v)}{\rho_v \rho_l} \frac{1}{u_c^2} = \frac{2\pi\sigma(\rho_l + \rho_v)}{\rho_v \rho_l} \left[ \frac{\rho_v h_{lv}}{q_{\max}} \right]^2 \left( \frac{S_{\text{jet}}}{S_{\text{totale}}} \right)^2$$

$$q_{\max} = \left( \frac{\pi^4}{2^{11} \times 3^2} \right)^{1/16} \left( \frac{S_{\text{jets}}}{S_{\text{totale}}} \right)^{5/8} \left( 1 - \frac{S_{\text{jets}}}{S_{\text{totale}}} \right)^{5/16} \left[ \frac{\rho_l / \rho_v - 1}{\left( (11/16)(\rho_l / \rho_v) + 1 \right)^{3/5}} \right]^{5/16} \rho_v h_{lv} \left[ \frac{\sigma(\rho_l - \rho_v) g}{\rho_v^2} \right]^{1/4}$$

Expression identique à Zuber pour

$$\frac{S_{\text{jets}}}{S_{\text{totale}}} = 0.584 \left( \frac{\rho_v}{\rho_l} \right)^{0.2}$$

## Conclusion sur les modèles de flux critique

Certaines hypothèses des modèles sont discutables :

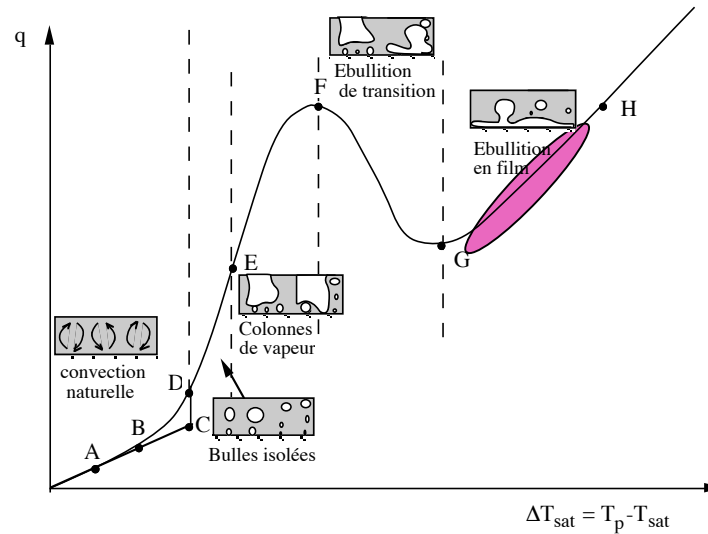
Ex modèle Hiramoto et Katto : faible épaisseur des colonnes de vapeur, alors que ce sont de long jets de vapeur

Hypothèses de bases des modèles sont les mêmes : les instabilités de K. H. sont responsables du piégeage du liquide qui se vaporise

Prédictions obtenues avec ces modèles sont raisonnables (20%) pour l'eau, les hydrocarbures, les fluides cryogéniques et les réfrigérants

Ecarts considérables pour les métaux liquides ou la convection et la conduction sont importantes

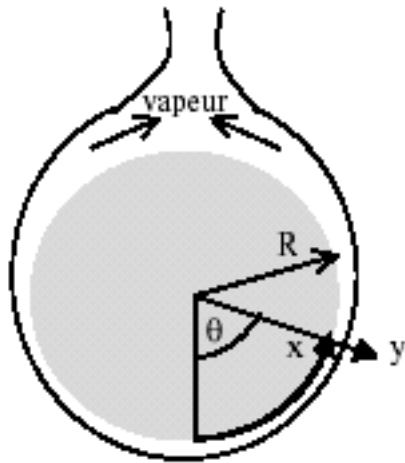
## Ebullition en film



Bromley (1950)  
analogie théorie de  
la condensation  
cylindres horizontaux

Berenson (1962)  
instabilités  
hydrodynamiques  
plaques horizontales

## Ebullition en film : modèle de Browley



Hypothèses du calcul :

- Cylindre de grande longueur  $L \gg R$ , chauffé à  $T_p$
- L'interface est lisse à température  $T_{\text{sat}}(P_0)$
- Film de vapeur mince d'épaisseur  $\delta \ll R$  et transfert de chaleur par conduction uniquement
- Propriétés thermophysiques évaluées à la température du film  $(T_p + T_{\text{sat}})/2$
- Liquide à la température  $T_{\text{sat}}(P_0)$

Equilibre mécanique d'un petit élément volumique de vapeur  $dx dy dz$

$$P(x + dx)dydz - P(x)dydz + \tau(y)dxdz - \tau(y + dy)dxdz + \rho_v g \sin \theta dx dy dz = 0$$

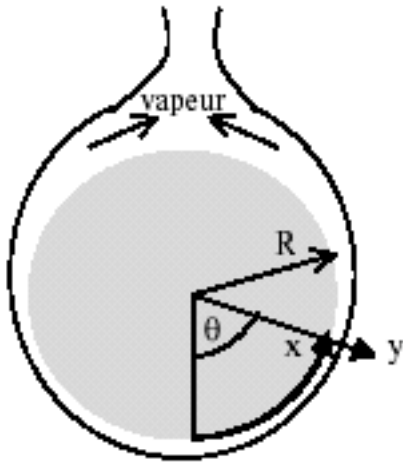
$$\longrightarrow \frac{dP}{dx} = \frac{\partial \tau}{\partial y} - \rho_v g \sin \theta = \mu_v \frac{\partial^2 u}{\partial y^2} - \rho_v g \sin \theta = -\rho_l g \sin \theta \longrightarrow \mu_v \frac{\partial^2 u}{\partial y^2} = -(\rho_l - \rho_v) g \sin \theta$$

$$u(x, y) = \frac{(\rho_l - \rho_v) g \sin \theta \delta^2}{\mu_v} \left( \frac{y}{\delta} - \frac{y^2}{2\delta^2} \right) \quad \text{avec} \quad \begin{cases} u(x, 0) = 0 \\ \left. \frac{\partial u}{\partial y} \right|_{y=\delta} = 0 \end{cases}$$





## Ebullition en film : modèle de Browley (suite)



$$u(x, y) = \frac{(\rho_l - \rho_v)g \sin \theta \delta^2}{\mu_v} \left( \frac{y}{\delta} - \frac{y^2}{2\delta^2} \right)$$

Vitesse moyenne sur l'épaisseur du film

$$\bar{u}(x) = \frac{1}{\delta} \int_0^{\delta} u(x, y) dy = \frac{(\rho_l - \rho_v)g \sin \theta \delta^2}{3\mu_v}$$

Débit massique de vapeur pour un tube de longueur L

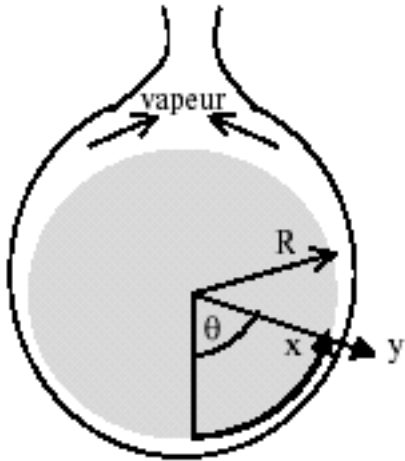
$$\dot{m} = \rho_v \bar{u}(x) L \delta = \frac{\rho_v (\rho_l - \rho_v) g \sin \theta \delta^3 L}{3\mu_v}$$

Flux de chaleur par conduction sur  $Ldx$  sert à vaporiser un débit  $d\dot{m}$  et à élever sa température de  $T_{\text{sat}}$  à la température du film  $(T_p + T_{\text{sat}})/2$

$$dq = k_v L dx \frac{T_p - T_{\text{sat}}}{\delta} = [\dot{m}(x + dx) - \dot{m}(x)] h_{\text{lv}}^* = d\dot{m} h_{\text{lv}}^* = d\dot{m} \left[ h_{\text{lv}} + \frac{3}{8} C_{\text{pv}} (T_p - T_{\text{sat}}) \right]$$

avec  $\dot{m} h_{\text{lv}}^* = \dot{m} h_{\text{lv}} + \int_0^{\delta} \rho_v u(x, y) L C_{\text{pv}} (T - T_{\text{sat}}) dy = \dot{m} h_{\text{lv}} + \dot{m} \frac{3}{8} C_{\text{pv}} (T_p - T_{\text{sat}})$   $T = T_{\text{sat}} + (T_p - T_{\text{sat}}) \left( 1 - \frac{y}{\delta} \right)$

## Ebullition en film : modèle de Browley (suite)



$$\dot{m} = \rho_v \bar{u}(x) L \delta = \frac{\rho_v (\rho_l - \rho_v) g \sin \theta \delta^3 L}{3\mu_v}$$

$$k_v L dx \frac{T_p - T_{sat}}{\delta} = d\dot{m} h_{lv}^* = d\dot{m} \left[ h_{lv} + \frac{3}{8} C_{pv} (T_p - T_{sat}) \right]$$

On élimine  $\delta$  et on écrit  $dx = R d\theta$



$$\dot{m}^{1/3} d\dot{m} = \frac{k_v}{h_{lv}^*} L R \left[ \frac{\rho_v (\rho_l - \rho_v) g L}{3\mu_v} \right]^{1/3} (\sin \theta)^{1/3} d\theta$$



Intégration de  $\theta=0$  à  $\pi$

$$\dot{m} = 1,924 \left[ \frac{k_v^3 L^4 R^3 (T_p - T_{sat})^3 \rho_v (\rho_l - \rho_v) g}{\mu_v h_{lv}^{*3}} \right]^{1/4}$$

Coefficient d'échange moyen

$$\bar{h} 2\pi R L (T_p - T_{sat}) = 2\dot{m} h_{lv}^*$$

$$\bar{h} = 0,728 \left[ \frac{k_v^3 h_{lv}^* \rho_v (\rho_l - \rho_v) g}{\mu_v (T_p - T_{sat}) D} \right]^{1/4}$$

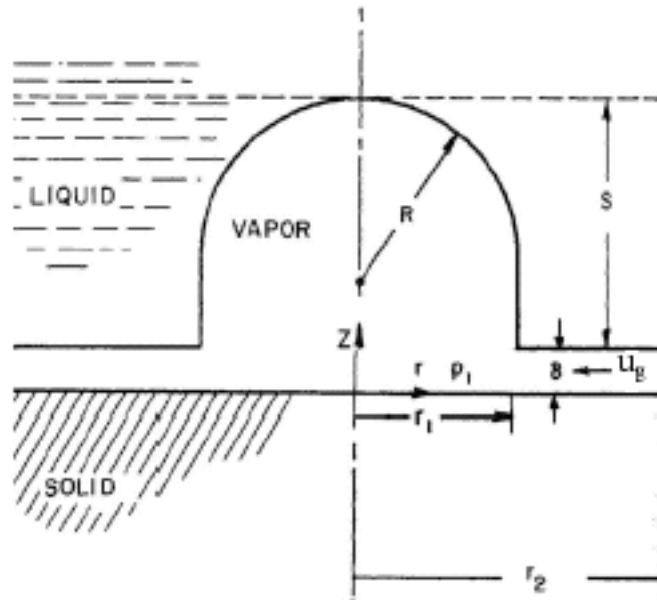
$(\tau_i=0)$

0.62 (Browley)

➡ à haute température : rayonnement

$$h_{tot} = \bar{h} + h_{rad} \quad h_{rad} = \sigma \varepsilon \left[ \frac{T_p^4 - T_{sat}^4}{T_p - T_{sat}} \right]$$

# Ebullition en film : modèle de Berenson



Hypothèses :

- L'interface est perturbée par une longueur d'onde  $\lambda_D$
- Poches de vapeur, formées selon un réseau carré et espacées d'une distance égale à  $\lambda_D$
- Flux de chaleur est transféré à travers un film d'épaisseur  $\delta$

Le flux de chaleur transféré entre  $r_2$  et  $r$  sert à vaporiser un débit  $\dot{m}(r)$

$$q(r) = k_v \frac{\pi(r_2^2 - r^2)}{\delta} (T_v - T_{sat}) = \dot{m}(r) h_{lv}^* = 2\pi r \rho_v \bar{u}_v \delta h_{lv}^*$$

Equilibre mécanique du film de vapeur

$$\frac{dP_v}{dr} = \mu_v \frac{\partial^2 u_v}{\partial z^2} = \mu_v b \frac{\bar{u}_v}{\delta^2} \quad \text{avec } b=3 \quad \text{si } \begin{cases} u_v(r, 0) = 0 \\ \frac{\partial u_v}{\partial r} \Big|_{y=\delta} = 0 \end{cases}$$



$$dP_v = \left[ \frac{b\mu_v k_v (T_p - T_{sat})}{\rho_v h_{lv}^* \delta^4} \right] \left( \frac{\lambda_D^2 - 2\pi r^2}{4\pi r} \right) dr$$

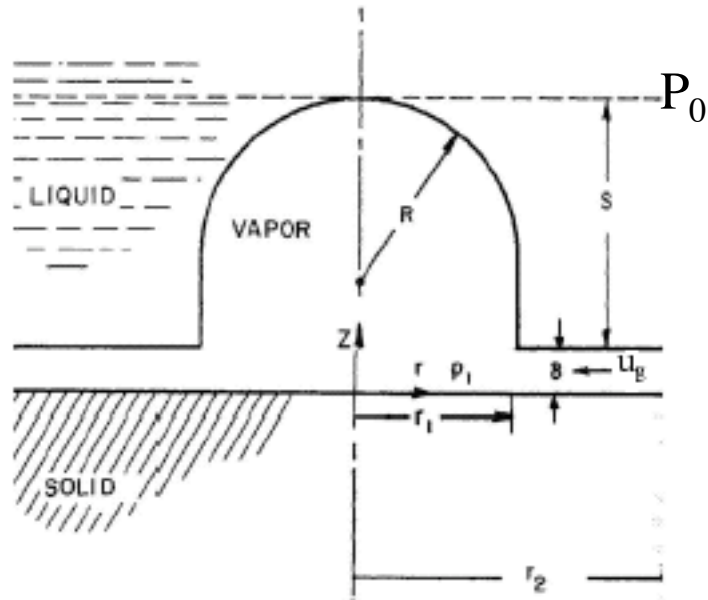


Intégration de  $r_1$  à  $r_2$

$$P_2 - P_1 = 1,36 \left[ \frac{8b\mu_v k_v (T_p - T_{sat})}{\rho_v h_{lv}^* \delta^4} \right] \left( \frac{\sigma}{g(\rho_l - \rho_v)} \right)$$

$$\lambda_D = 2\pi \left[ \frac{3\sigma}{(\rho_l - \rho_v)g} \right]^{1/2} \quad \text{et} \quad r_1 = 2,35 \left[ \frac{\sigma}{(\rho_l - \rho_v)g} \right]^{1/2}$$

## Ebullition en film : modèle de Berenson (Suite)



$$P_2 - P_1 = 1,36 \left[ \frac{8b\mu_v k_v (T_p - T_{sat})}{\rho_v h_{lv}^* \delta^4} \right] \left( \frac{\sigma}{g(\rho_l - \rho_v)} \right)$$

$$P_2 = P_0 + \rho_l g S \quad P_1 = P_0 + \rho_v g S + \frac{2\sigma}{R}$$

avec  $R = r_1 = 2,35 \left[ \frac{\sigma}{g(\rho_l - \rho_v)} \right]^{1/2}$  ;  $S = 1,36R$

Elimination de  $P_2 - P_1$

calcul de  $\delta$

$$\bar{h} = \frac{k_v}{\delta} = 0.425 \left\{ \left[ \frac{k_v^3 g \rho_v (\rho_l - \rho_v) h_{lv}^*}{\mu_v (T_p - T_{sat})} \right] \sqrt{\frac{g(\rho_l - \rho_v)}{\sigma}} \right\}^{1/4}$$

Equation de la même forme que  
Browley échelle de longueur

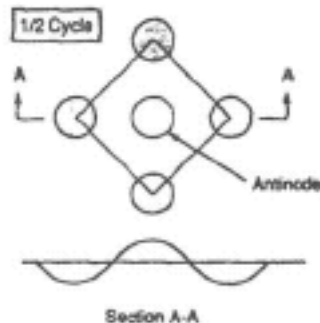
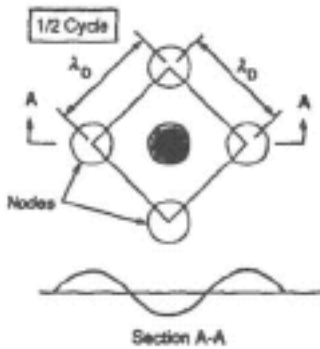
$$\sqrt{\frac{\sigma}{g(\rho_l - \rho_v)}}$$

D (Browley)

# Flux de chaleur minimum

Minimum de flux thermique  $q_{\min}$  atteint lorsque le débit de vapeur vaporisé < débit évacué par le départ des bulles :

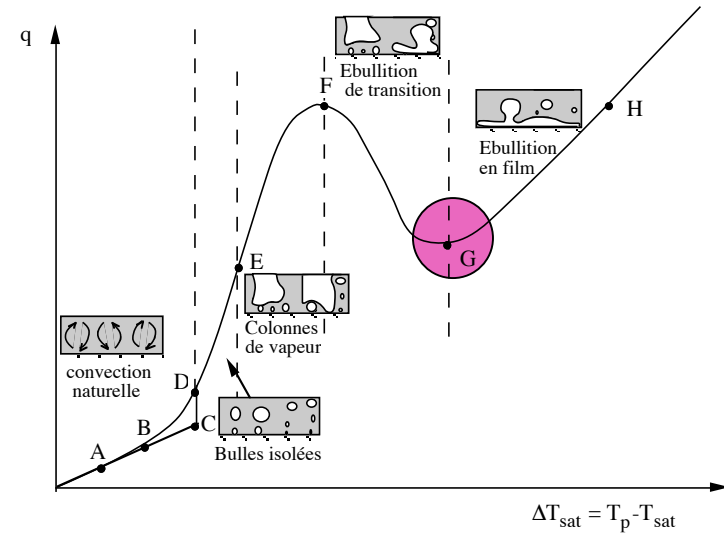
$$q_{\min} = \frac{4\pi R^3}{3} \rho_v h_{lv} n_b f_{\min}$$



$$n_b = \frac{2}{\lambda_D^2}$$

$$\lambda_D = 2\pi \sqrt{\frac{3\sigma}{(\rho_l - \rho_v)g}}$$

Bulles relâchées au niveau des ventres de l'instabilité de Taylor ont un rayon  $R = \lambda_D/4$

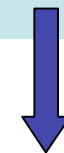


Correspond à la longueur d'onde la plus dangereuse de l'instabilité de Rayleigh-Taylor

$$\omega_{\max} = \left[ \frac{4(\rho_l - \rho_v)^3 g^3}{27(\rho_l + \rho_v)^2 \sigma} \right]^{1/4}$$

$$f_{\min} = 0.4 \omega_{\max}$$

$$q_{\min} = 0,35 \rho_v h_{lv} \left[ \frac{g\sigma(\rho_l - \rho_v)}{(\rho_l + \rho_v)^2} \right]^{1/4} \quad (\text{Zuber})$$



0,09 meilleur accord avec les expériences (Berenson)

## Conclusion sur les modèles

Ebullition nucléée : nombreuses corrélations et modèles faisant intervenir les différents modes de transfert de chaleur- nécessité de connaître,  $R_d$ ,  $f$ ,  $n_c$

Flux critique : différentes hypothèses, modèles basées sur les instabilités de Kelvin- Helmholtz

Ebullition en film : modèles similaires à ceux développés en condensation (bilans thermiques et dynamiques). Le flux de chaleur apporté par conduction à travers un film mince sert à vaporiser le liquide

Flux de chaleur minimum : modèle basé sur des instabilités de Rayleigh-Taylor

Ebullition de transition : peu de modèles, interpolation entre  $q_{\max}$  et  $q_{\min}$